関東平野の地下地質構造

鈴木宏芳*

Underground Geological Structure beneath the Kanto Plain, Japan

Hiroyoshi SUZUKI

Special Researcher
National Research Institute for Earth Science and Disaster Prevention, Japan

Abstract

Underground geological structure beneath the Kanto plain was studied by the analysis of many boring, logging and geophysical data, and depth and thickness distribution of the pre-Neogene, Neogene and Quaternary strata were cleared up.

The pre-Neogene basements have large ups and downs, and their upper interface depths are estimated more than 4,000 meters beneath the Boso peninsula, 3,500 meters beneath the eastern Kanagawa prefecture and middle Tone river basin, and 2,500 meters beneath the coastal area of Kashimanada.

Miura Group and its equivalents (Miocene to early Pliocene) were deposited on the pre-Neogene basements. The thicknesses are estimeted more than 3,000 meters beneath the middle Boso peninsula, eastern Kanagawa prefecture and middle Tone river basin and 2,000 meters beneath the coastal area of Kashimanada. These strata do not exist beneath the middle to eastern area of Ibaraki prefecture and northen area of Chiba prefecture.

Kazusa Group and its equivalents (late Plicene to early Pleistocene) were deposited on the Miura Group and its equivalents or pre-Neogene basements directly and were distributed in the whole area of the Kanto plain. The maximum thicknesses are estimated more than 2,000 meters beneath the northern Boso peninsula and northern Tokyo bay.

Shimosa Group and its equivalents (late Pleistocene) were deposited on Kazusa Group and its equivalents and were distributed central part of the Kanto plain and the lower basin of Sagami river. The maximum thickness is estimated more than 400 meters at the northern Tokyo bay and its neighborhoods. The middle part of the depositional basin moved from south to north during Neogene and Quaternary Periods.

Changes of depositional environments after Miocene in the Kanto plain are explained by the global sea level changes and crustal movements, which were caused by extension of the Japan sea and subduction of the Philippine sea plate.

Key words : Kanto plain, Basement structure, Underground geological structure, Boring data, Geophysical prospecting data

1. はじめに

関東平野は日本のほぼ中央に位置し、東西、南北がそれぞれ約 100km の広さを有する日本最大の平野であり、本地域は西南日本と東北日本の接点として、平野の成因を含めて地質学的な関心の高い地域である。また、テクトニクスの面からは、本地域で陸側プレートの下にフィ

リピン海,太平洋の両プレートが沈み込むという複雑な相互運動を行っており、それがこの地域の活発な地震活動や構造運動をもたらしていると考えられ、それらを引き起こすメカニズムや活断層の研究が重要な課題となっている。一方、防災の観点からは、関東平野を覆う厚い軟弱な堆積層の存在が、地震時の強震動の発生や液状化

^{*} 独立行政法人 防災科学技術研究所 主席研究員

等の地盤災害の原因となっていることや地盤沈下などの 原因と考えられ、堆積層の物性、厚さ、広がり等の解明 が重要な研究課題となっている.

このような種々の課題を解明するためには、関東平野の地下の地質や物性の構造を明らかにすることが最も基礎的な研究の一つである。関東平野は日本の政治、経済活動の中心地であるという社会的な重要性や、上述の様な観点から地下構造の研究には多くの努力が注がれており、他の平野に比べればかなり研究が進んでいる。しかし、その広大さのために、まだまだ未知の部分が多いのが実状である。

筆者らは、首都圏地域の地震活動の観測研究を多年にわたり進めてきたが、その過程で深層地震観測井の掘削や地下構造探査を数多く実施し、これらのデータを用いた地下構造の解明も行ってきた。本論文は筆者がこれまでに行った地下構造に関する研究を取りまとめ、次の段階に進むための一助となることを目的として、現段階での知見を総括したものである。

2. 研究の経緯

関東平野の深部構造の本格的な研究は,1950年代に地下資源開発を目的として始められた。河井(1961)は天然ガス田の鉱床地質学的見地から地質構造の解析を行い,また,石井(1962)は物理探査データなどを基に先新第三系基盤の深度分布を提案し,最深3,000mを超える深度を推定した。その後、層序試錐や天然ガス開発、地盤沈下観測井の掘削等によって、平野中央部では基盤深度が実際に3,000mを超すことが確認された(福田,1962;福田ほか,1974;垣見ほか,1973)。1970年代には地震観測を目的として、国立防災科学技術センター(現防災科学技術研究所)により3本の3,000m級深層観測井が掘削され、多種の物理検層が実施された結果、地下深部までの物性が明らかになった(高橋ほか,1983;鈴木ほか、1983;鈴木・高橋、1985)。

物理探査に関しては、1960年代から重力探査や地震探査が行われてきた(畠山、1964)が、本格的に行われるようになったのは1970年代からで、重力探査に基づくブーゲー異常分布による基盤深度の推定(駒沢・長谷川、1988)や、屈折法地震探査による基盤深度分布(首都圏基盤構造研究グループ、1989;纐纈、1995)が提案された、1980年代になると反射法地震探査が深部地下構造調査に用いられるようになり、東京湾(加藤、1984)や平野中央部(笠原ほか、1994)で実施されて成果をあげた、また地質構造のよくわかった観測井近傍で反射法探査を行うことにより、反射構造と地質構造との関連が明らかになり、反射法探査の解析精度向上とボーリングデータの効率的な活用が進められた(例えば、山水ほか、1993;1995)。

1990年代からは、防災科学技術研究所により、首都圏地域の地震観測能力の向上のため、首都圏周辺で 3,000m 級及び 2,000m 級の観測井が合わせて 15 本掘削され (鈴木・小村,1999)、より詳細な基盤深度分布が提案される

(鈴木,1998)等,地下のデータの蓄積が進む一方,反射 法地震探査を用いた活断層の調査や平野深部の構造調査 等の,地震防災を目的とした調査研究が各研究機関や地 方自治体によって積極的に行われるなど,関東平野の地 下構造の調査研究は着実に進んでいる(文部科学省, 2001 など).

3. 関東平野の地形及び地質の概略

関東平野は西側を関東山地,北側を足尾山地及び筑波山地,南側は嶺岡山地及び葉山丘陵に囲まれ,東側は太平洋に面している.

関東平野の地質区分を図1に示す(杉山ほか,1997). 関東平野を取り囲む山地や丘陵は、主として先新第三系 の地層で形成されている. 関東平野は沈降した先新第三 系基盤の上に,新第三系及び第四系が厚く堆積して形成 された. 房総半島中部や三浦半島では, 中新統, 鮮新統 及び下部更新統が標高 100 ないし 300m に丘陵状に分布 する. 関東山地, 足尾山地, 筑波山地の縁辺部にも中新 統ないし下部更新統が分布している. また, 多摩丘陵, 狭山丘陵や横浜南部地域にも鮮新統ないし下部更新統が 丘陵状に分布している. それに対して, 平野中央部は標 高50ないし20m程度の台地と、これらの台地を開析す る利根川、荒川、多摩川等の河川の流路に形成された低 地に大別される. 台地を形成する地層は, 下総層群や下 末吉層等の中~上部更新統と武蔵野ローム層, 立川ロー ム層等からなる. また低地には沖積層が堆積している. その標高は関東平野の中央部である埼玉県の加須市付近 で 10m 前後である.

このように、関東平野は周辺部から中央部に向かって標高が低下するとともに、堆積物の年代も新しくなるという盆地状の構造を呈しており、矢部・青木(1927)はこのような構造を「関東構造盆地」と称した。盆地を形成する造構運動は現在も進行していると考えられている。関東構造盆地の成因は、大局的には先新第三系基盤の変動(沈降及び隆起運動)及び海水面変動によってもたらされたものと考えらている。

4. 解析に用いたデータ

本研究で解析に用いたデータ類は、ボーリング資料(地質試料、物理検層資料及びコア・カッティングス試験資料など)、物理探査資料(屈折法地震探査、反射法地震探査、重力探査など)等である。これらは筆者らが行ったものを含めて、さまざまな調査研究機関や民間会社等によって行われ、その成果に関しては、詳細な内容が公表されているもの、概要のみのもの、未公表あるいは非公開のもの等とさまざまである。そのため、使用に当たっては、詳細な内容が公表されている資料についてはその結果を用い、概要のみのものや未公表資料は、原資料に当たるなどしてデータの信頼性、確実さなどを判断した。公表された資料についても、その後の研究で結果を変更した方が良いと考えられるデータは、筆者が変更したものもある。以下に用いたデータの種類、位置、

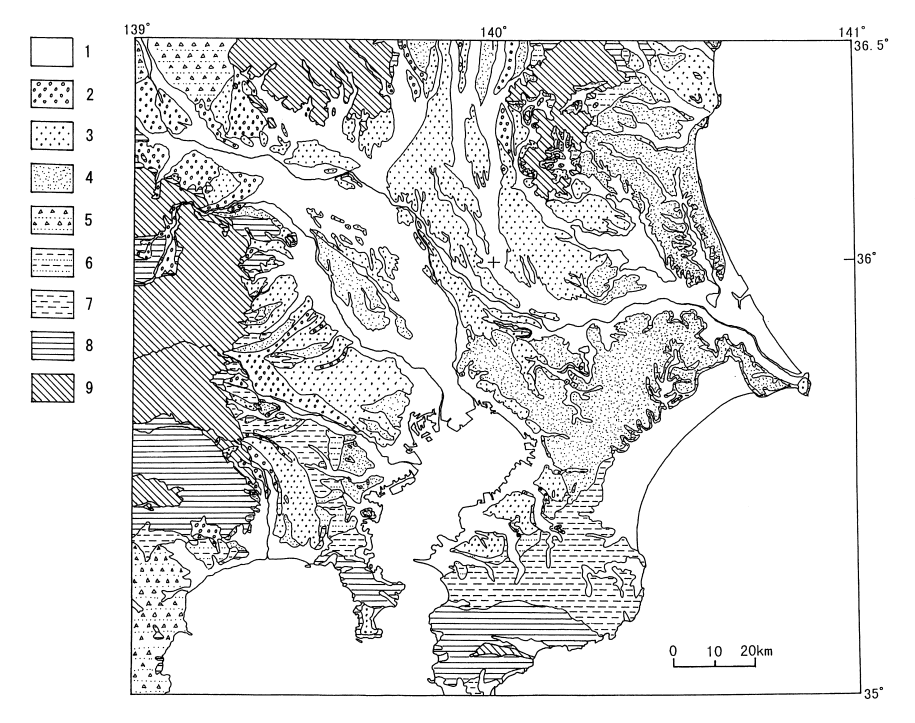


図1 関東平野及び周辺地域の地質区分(杉山ほか,1997をもとに作成) 1:完新統,2:立川段丘堆積物及び相当層,3:武蔵野段丘堆積物及び相当層,4:下末 吉段丘堆積物及び相当層,5:第四紀火山岩類,6:中部更新統(下総層群及び相当層), 7:上部鮮新統~下部更新統(上総層群及び相当層),8:中新統~下部鮮新統,9:先新 第三系

Fig. 1 Geology of the Kanto plain and adjacent area (compiled from Sugiyama *et al.*, 1997)

1: Holocene, 2: Tachikawa terrace deposits and their equivalents, 3: Musashino terrace deposits and their equivalents, 4: Shimosueyoshi terrace deposits and their equivalents, 5: Quaternary volcanic rocks, 6: Middle Pleistocene (Shimosa Group and its equivalents), 7: Lower Pleistocene to upper Pliocene (Kazusa Group and its equivalents), 8: Miocene to lower Pliocene (Miura Group and its equivalents), 9: Pre-Neogene.

文献等を説明する.

(1) ボーリング資料

関東平野では、1950年代から天然ガスの調査や採取の ためのボーリングが数多く行われ、また、1970年以降は 地震観測, 地盤沈下観測, 地殻応力測定等を目的とした 調査観測井の掘削も多数実施された. これらのうち, 初 期のものは詳細な結果が公表されているものは少なく, 地質や物性の判断に有効な物理検層も、電気検層や SP 検層のみというものが多い. それに対して,調査観測井 では詳細な地質観察を行い, 検層も電気, SP 以外に, 音 波, 密度, 温度, γ-ray 等の基礎的な項目を実施してお り、調査結果の公表も生データを含めて行われているも のが多い (例えば, 鈴木ほか, 1981;鈴木, 1996;鈴木・ 小村, 1999 など). 最近は民間企業や地方自治体等によ る深度 1,000m を超えるような温泉井の掘削もかなり行 われているが、それらのデータは一部を除き非公開のも のが多い. 本研究では基盤を含めた深部構造に重点を置 いているため、用いたボーリングデータは、基盤に達し たものか, あるいは基盤には到達していないが, 深部構 造を調べるために重要なものを重点的に選択している. 図2に用いたボーリング孔の位置を,表1にボーリング

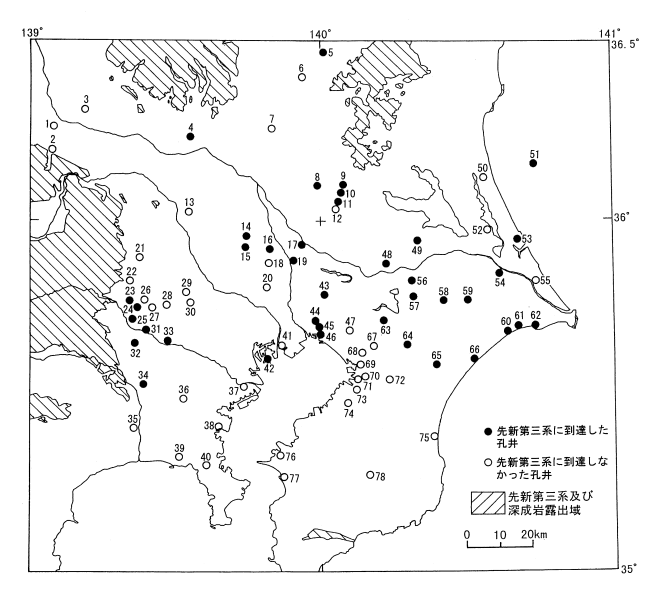


図2 解析に用いた孔井の位置図.番号は表1の番号に対応する.

Fig. 2 Location map of the referred boring wells. Numbers in the figure correspond to these of the Table 1.

表 1 孔井一覧. 孔井番号は図2の番号と対応する.

 $Table \ 1 \quad \hbox{List of the referred wells. Numbers of the wells correspond to the numbers of } Fig.\ 2.$

2		(m)	(m)	上面深度(m)	三浦層群相当層 基底深度(m)	上総層群相当層 基底深度(m)	基底深度(m)	参考文献
	藤岡GS-1 神川町	71 105	2933 1300	達せず 達せず	達せず 達せず	524 不明	209 不明	福田(1964) (株)ドリコ(私信)
3	伊勢崎観測井	57	1983	達せず	達せず	467	不明不明	鈴木・小村 (1999)
4 1	館林観測井	20	1215	576	576	389	130	鈴木・小村(1999)
	真岡市温泉井	不明	1536* 1670	1515* 達せず	1515* 達せず	不明 575	十 不明 57	(株)東京地質(私信)
	真岡観測井 結城R-2	68 35	1388	達せす 達せず	達せす 達せず	320	」 不明	鈴木・小村(1999) 鶴田(1965)
8	石下観測井	16	887	502	欠	502	不明	池田・塚原(1987)
	防災つくば観測井	25	575	385	欠	385	不明	塚原・他(1983)
	地理院つくば観測井 応用地質実験井	25 25	790 1325	462 597	欠欠	462 597	36 不明	帝国石油(1974) 三本・他(2000)
	土浦ST-1	9	491	達せず	不明	達せず	45	帝国石油(1974)
13 :	北本解脱会温泉井	23	977	達せず	達せず	207	不明	福田・他(1988)
14	春日部GS-1 岩槻地殼活動観測井	5 9	3098 3501	3067 2888	3058 2888	1036 1030	206 226	福田 (1962) 高橋・他 (1983)
	石烷地成冶勒酰则开 松伏SK-1	5	2001	1595	1595?	995?	350	城戸(1964)
17	野田R-1	8	1123	1029	欠 達せず	1029	232	福田・他(1974)
	草加R-2 	3 3	1583	達せず 1470	達せず 1479	1207 1247	202	福田・他(1988)
	流山NK-1 草加R-1	2	1522 1798	1479 達せず	1479 達せず	1308	186 528	福田・他(1988) 河井(1961)
21	日高観測井	51	1782	達せず	達せず	409	59	鈴木・小村(1999)
	飯能温泉井	80	920	達せず	達せず	不明	不明	中里 (1992)
23 3	瑞穂試錐 武蔵村山試錐	142 124	260 579	228 537	欠 欠	228 537	-138 不明	川島・他(1985) 川島・川合(1980)
25 E	昭島試錐	119	302	269	269	259	不明	川島・他(1990)
26 j	武蔵村山温泉井	130	1370	達せず	達せず	510?	不明	中山・他(2000)
27 3	東大和試錐 東村山試錐	97 64	605 643	達せず 達せず	達せず 達せず	達せず 達せず	−17 −17	川島・川合(1977) 川島・川合(1983)
	果村山迅難 所沢観測井	21	2013	達せず 達せず	達せず 達せず	運せり 974	-17 45)
30]	東久留米試錐	40	969	達せず	達せず	達せず	129?	川島・遠藤(1972)
31 3	立川試錐	75	929	896	896?	792	-66 100	遠藤・他(1978)
	八王子試錐 府中地殼活動観測井	109 45	592 2738	572 1977	欠 1977	572 1449	-100 欠	川島・他(1984) 鈴木・高橋(1985)
	相模原温泉井	104	1396	1351	1351	141	-61	小沢・他(1999)
35 1	厚木観測井	13	1824	達せず	達せず	欠	127	鈴木・小村 (1999)
	横浜観測井 川崎GS試錐	62 3	1983 1013	達せず 達せず	達せず 達せず	1308 698	-42 不明	鈴木・小村(1999) 福田・他(1976)
	川崎usitu 磯子R-4	3	1407	達せず	達せず	1051	不明	菊池(1964)
39 J	藤沢温泉井	9	1194	達せず	達せず	欠	欠	小沢・他(1999)
	逗子温泉井	32	1568	達せず	達せず	欠 1689	欠 289	小沢・他(1999) 河井(1961)
	江戸川ER-10 江東地殻活動観測井	3 7	2049 3023	達せず 2572	達せず 2572	1670	289 108?	河井 (1901) 鈴木 (1996)
43	下総地殻活動観測井	23	2307	1491	1491	1266	354	鈴木・他(1983)
	船橋FR-18	7	2100	2064	2064	1870	473	福田・他(1974)
	船橋地盤沈下観測井 船橋温泉井	3 不明	2143 2380*	2136 2370*	2136 2370*	1917 不明	451 不明	楡井・他(1972) 富士ボーリング(私信)
	州福温永开 八千代台R-1	27	1676	を 達せず	達せず	達せず	423	石和田・他 (1962)
	新利根R-1	3	836	810	欠	810	137	石井(1962)
	江戸崎観測井 大洋観測井	2 40	1232 1192	663 達せず	欠 達せず	663 361	121 25	鈴木・小村(1999) 鈴木・小村(1999)
	ス 注 説 州 开 鹿 島 灘 構 造 試 錐	-38	2159	1605	1605	470?	不明 不明	米谷・他(1981)
	潮来温泉井	33	1667	達せず	達せず	不明	不明	日鉱探開(私信)
	鹿島KT-1	5	905	882	882	565	不明	石井(1962) 石井(1962)
	小見川R-1 波崎観測井	1 4	662 801	658 達せず	欠 達せず	658 441	50 41	石井(1962) 塚原・池田(1986)
56 F	成田観測井	12	1324	860	欠	860	158	鈴木・小村(1999)
	成田R-1	7	1046	1011	欠	1011	143	石井(1962)
	菱田R-1 多古R-1	41 7	908 819	897 818	欠 欠	897 818	不明 8	菊池(1963) 石井(1962)
	担R−2	4	736	733	欠	733	不明	河井(1961)
61	旭R-1	6	560	545	欠	545	不明	河井(1961)
	飯岡R-1 佐倉R-1	5 3	396 1519	395 1507	欠欠	395 1507	不明 267	石和田・他 (1962) 菊池 (1964)
	佐居R-1 八街R-2	46	1949	1943	1943	1846	224	河井(1961)
65 F	成東R-2	7	1999	1993	1993	1899	不明	石和田・他(1962)
	蓮沼TR-1 m 45:道P-1	1 不明	1444 2000*	1429? 達せず	1429? 達せず	1359 達せず	不明 460*	河井(1961) 菊池(1963)
	四街道R-1 千葉P-1	37	1924	達せず 達せず	達せず	達せず	463	樋口・斉藤(1965)
69	千葉FR-10	不明	2000*	達せず	達せず	達せず	250*	楡井・他(1975)
	千葉HA-10	不明	1980*	達せず	達せず	達せず	290*	楡井・他(1975)
	千葉MITI-2000 千葉観測井	不明 65	2000* 1976	達せず 達せず	達せず 達せず	達せず 達せず	290* 95	楡井・他(1975) 鈴木・小村(1999)
	て来観点弁 八幡K-6	不明	2000*	達せず	達せず	達せず	不明	石和田・他(1962)
74 3	五井R-1	不明	1305*	達せず	達せず	達せず	300*	河井(1961)
	驚0T-1 言注知测量	不明 4	1926* 2037	達せず 達せず	達せず 達せず	達せず 816	欠 44	樋口(1964) 鈴木・小村(1999)
	富津観測井 大佐和GS-1	11	2541	達せす 達せず	達せり 1467	279	44 欠	石和田・三梨(1965)
78 ī	↑ 市原観測井 :深度はすべて海水面	92	1942	達せず	達せず	1556	欠	鈴木・小村(1999)

10.10 (表示) 10.00 (表示

孔の一覧を示す.

図2からわかるように、本地域の深層ボーリングのうち、先新第三系基盤に到達したものは埼玉県東部、千葉県北部、茨城県南部、東京都西部などに集中しており、その他の地域ではごく少ない。特に房総半島、神奈川県東部、利根川中流域など基盤深度が深いと考えられる地域に分布していないことが、これら地域の調査結果の信頼性に大きな影響を与えている。図3.1~図3.4に防災科学技術研究所で掘削した2,000m級観測井のうち、基盤層に到達したもの3本(江戸崎、成田、館林)及び基盤層に達していないもの1本(大洋)の地質柱状図及び検層結果を示す。観測井の位置等については図2及び表1

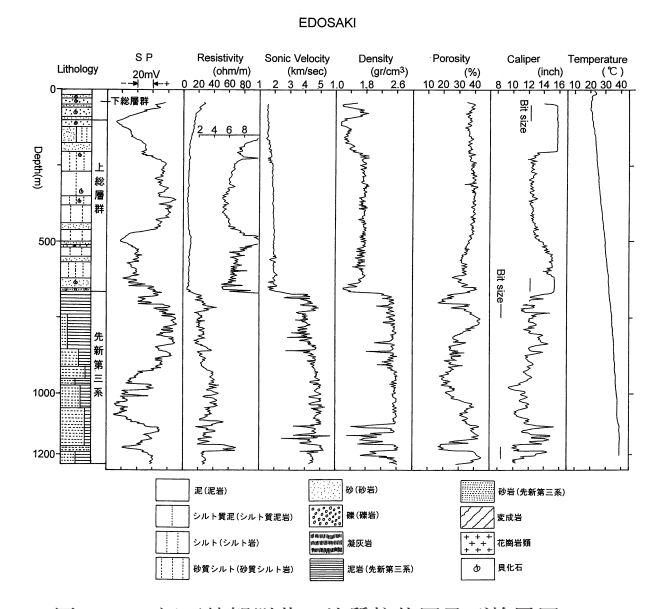


図 3.1 江戸崎観測井の地質柱状図及び検層図

Fig. 3.1 Geological columnar section and logging section of the Edosaki observation well.

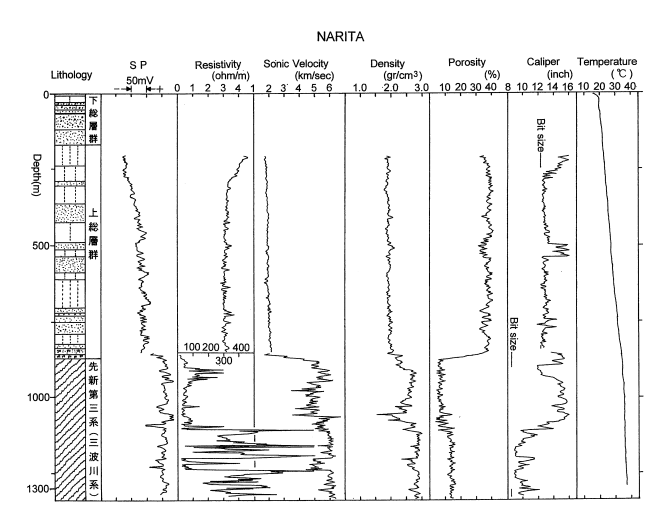


図3.2 成田観測井の地質柱状図及び検層図. 凡例 は図3.1 に同じ.

Fig. 3.2 Geological columnar section and logging section of the Narita observation well.Legends are the same as **Fig. 3.1**.

を参照されたい. なお,これら観測井の詳細については,それぞれ,表1に示す文献に記載されている.

今回用いたボーリング孔の地質試料の多くはカッティングス(掘屑)で、コア試料は数百メートル毎の採取という例が多い。カッティングスの観察だけでは新第三系以降の地質境界を正確に求めることは困難な場合が多い。そのため、物理検層が実施されているものについては、それらの結果も加えて総合的に判断する必要がある。このようなことが原因で、既存の論文等で示されている上総層群や下総層群の基底深度もかなりの誤差を含んでいる可能性がある。新第三紀以降の地層区分の確実さを増すためには、最近では石灰質ナンノプランクトンなどの微化石を用いた生層序区分が有効とされている。筆者らも3,000m級、2,000m級観測井の地質試料の石灰

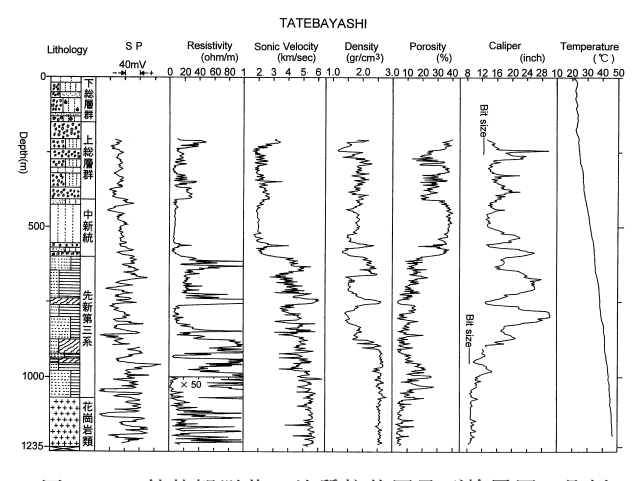


図3.3 館林観測井の地質柱状図及び検層図. 凡例 は図3.1 に同じ.

Fig. 3.3 Geological columnar section and logging section of the Tatebayashi observation well. Legends are the same as Fig. 3.1.

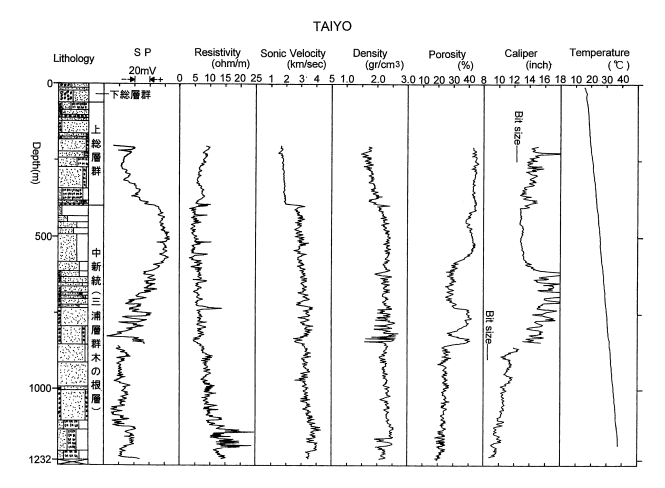


図 3.4 大洋観測井の地質柱状図及び検層図. 凡例 は図 3.1 に同じ.

Fig. 3.4 Geological columnar section and logging section of the Taiyo observation well. Legends are the same as **Fig. 3.1**.

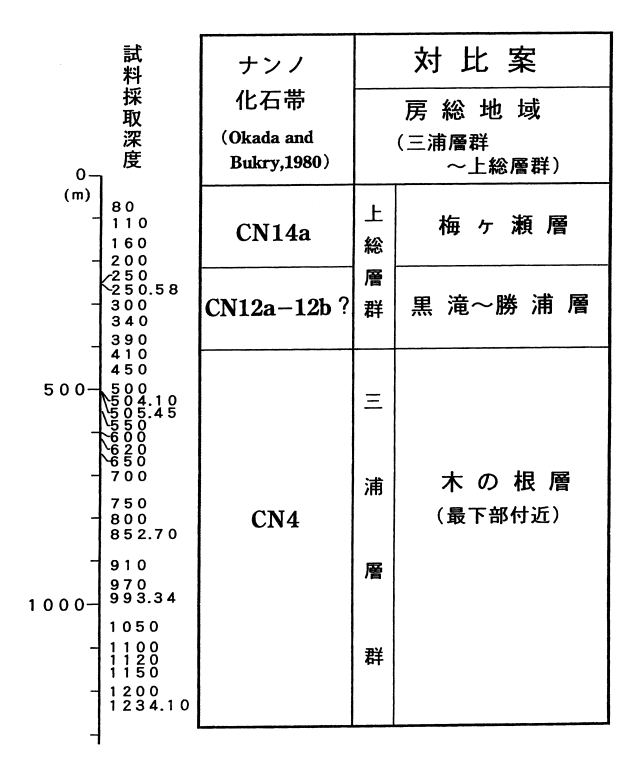


図4 大洋観測井の石灰質ナンノ化石分析結果

Fig. 4 Results of calcareous nannoplanktonic analysis of the Taiyo observation well.

質ナンノプランクトン化石,浮遊性有孔虫化石分析を試みている。その結果は別途公表する予定である(鈴木・堀内,2002)が,ここではその1例として,大洋観測井の石灰質ナンノプランクトン化石分析結果を図4に示す。図4によれば上総層群と三浦層群の境界は深度400m付近に存在することがわかり,図3.4に示した地質柱状図や検層図による区分と良く一致している。

(2) 物理探查資料

関東平野で実施されている主な物理探査は、屈折法地 震探査、反射法地震探査、重力探査などである。近年は 地震防災を目的とした地下構造調査や活断層調査のため の物理探査が多数実施されている。本研究では、それら の探査結果ですでに公表されているものをできるだけ収 集し、地下構造解析のための資料とした。図5及び図6 に用いた屈折法及び反射法地震探査測線を示す。

地震探査結果から地質構造を求めるには、地震波速度断面や反射断面から地質構造への変換が必要になる.すなわち、屈折法探査から得られる構造はP波速度構造、反射法探査からは反射断面であり、これらは地質構造と1対1に対応しているものではない。図7は3,000m級観測井で行った音波検層の結果と、対比される地層との関係を示したものである(鈴木、1996)が、この図からわかるように、関東平野のP波速度と地質層序との間にはかなりよい相関がある.すなわち、上総層群のP波速度は概ね1.8~2.5km/sec、三浦層群では2.5~3.3km/sec、それ以上の速度を有するものは先新第三系となる.このような関係を用いることによって、屈折波速度構造から

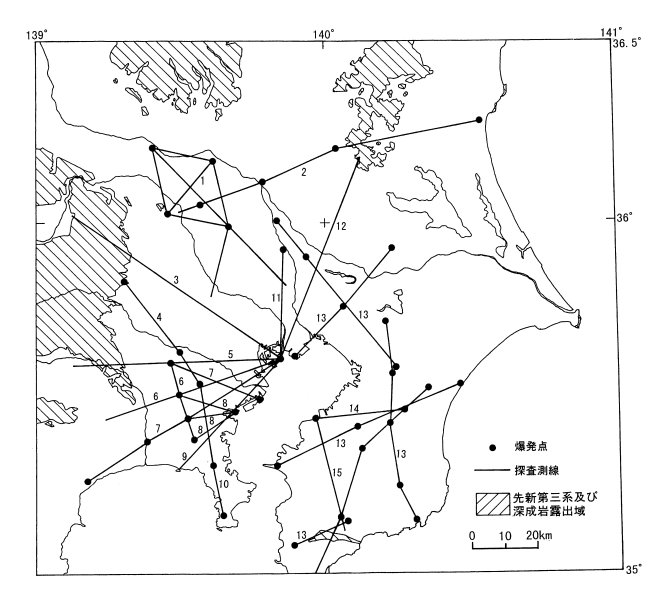


図5 解析に用いた屈折法地震探査. 引用した文献 は以下の通り.

1:埼玉県消防防災課 (1990), 2:長谷川 (1988), 3:嶋ほか (1978b), 4:笠原ほか (1976), 5:嶋ほか (1978a), 6:山中ほか (1985), 7:山中ほか (1988), 8:山中ほか (1991), 9:瀬尾・小林 (1980), 10:鈴木ほか (1993), 11:嶋ほか (1976), 12:嶋ほか (1981), 13: 千葉県消防地震防災課 (私信), 14:伊藤ほか (1987), 15:座間ほか (1985)

Fig. 5 Location map of referred refraction seismic prospecting. References are as follows.

1: Division of fire defense and disaster prevention, Saitama prefectural office (1990), 2: Hasegawa (1988), 3: Shima et al. (1978b), 4: Kasahara et al. (1976), 5: Shima et al. (1978a), 6: Yamanaka et al. (1985), 7: Yamanaka et al. (1988), 8: Yamanaka et al. (1991), 9: Seo and Kobayashi (1980), 10: Suzuki et al. (1993), 11: Shima et al. (1976), 12: Shima et al. (1981), 13: Division of fire defense and earthquake disaster prevention, Chiba prefectural office (personal letter), 14: Ito et al. (1987), 15: Zama et al. (1985).

地質構造を導き出すことが可能になる。但し、このような方法では上位層に対してP波速度のコントラストの大きな先新第三系基盤の深度はある程度精度良く求められるが、P波速度の差が小さい新第三系や第四系などの新しい地層の境界深度に関しては、かなりの誤差を含むと考えられるので、注意深い取り扱いが必要である。図8は纐纈(1995)による屈折法地震探査による基盤構造である。これはP波速度が5km/sec以上の速度層の深度分布であり、概ね先新第三系基盤に相当するものと考えられる。

反射法地震探査から地質構造を推定する際も,得られた反射構造と地質構造との対比は困難なことが多い. そのような場合,地質構造が既知の深井戸を規準として,

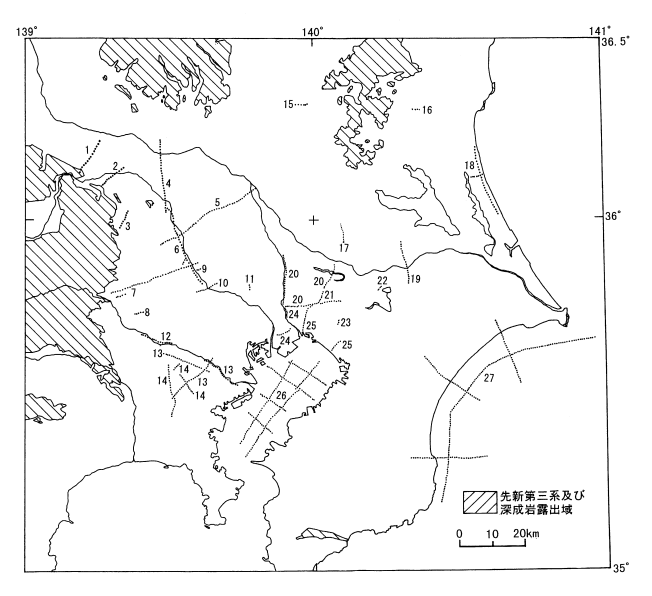


図6 解析に用いた反射法地震探査. 引用した文献 は以下の通り.

1:山口ほか(1996), 2:山口ほか(2000), 3: 石田ほか(1993), 4:笠原ほか(1997), 5: 笠原ほか(1993), 6:地球科学総合研究所(1995), 7:笠原ほか(1994), 8:中山ほか(2000), 9:遠藤ほか(1994), 10:埼玉県(1997), 11:中山ほか(1998), 12:山水ほか(1995), 13:川崎市(2001), 14:横浜市(2001), 15:山口ほか(1994), 16:横倉ほか(1985), 17:山口ほか(2001), 18:利根地下技術株式会社(1996), 19:川崎ほか(2001), 20:千葉県(2001), 21:山水ほか(1993), 22:原子力発電技術機構(1996), 23:天池ほか(1992), 24:杉山ほか(1995), 25:千葉県(1998), 26:加藤(1984), 27:石油公団(2000)

Fig. 6 Location map of referred reflection seismic prospecting. References are as follows.

1: Yamaguchi et al. (1996), 2: Yamaguchi et al. (2000), 3: Ishida et al. (1993), 4: Kasahara et al. (1997), 5: Kasahara et al. (1993), 6: JGI Inc. (1995), 7: Kasahara et al. (1994), 8: Nakayama et al. (2000), 9: Endo et al. (1997), 10: Saitama prefectural office (1997), 11: Nakayama et al. (1998), 12 : Yamamizu et al. (1995), 13: Kawasaki city office (2001), 14: Yokohama city office (2001), 15: Yamaguchi et al. (1994), 16: Yokokura et al. (1985), 17: Yamaguchi et al. (2001), 18: Tone Geo Tech. Co. (1996), 19: Kawasaki et al. (2001), 20: Chiba prefectural office (2001), 21: Yamamizu et al. (1993), 22: Nuclear Power Engineering Corp. (1996), 23: Amaike et al. (1992), 24: Sugiyama et al. (1995), 25: Chiba prefectural office (1998), 26: Kato (1984), 27: Japan National Oil Corp. (2000).

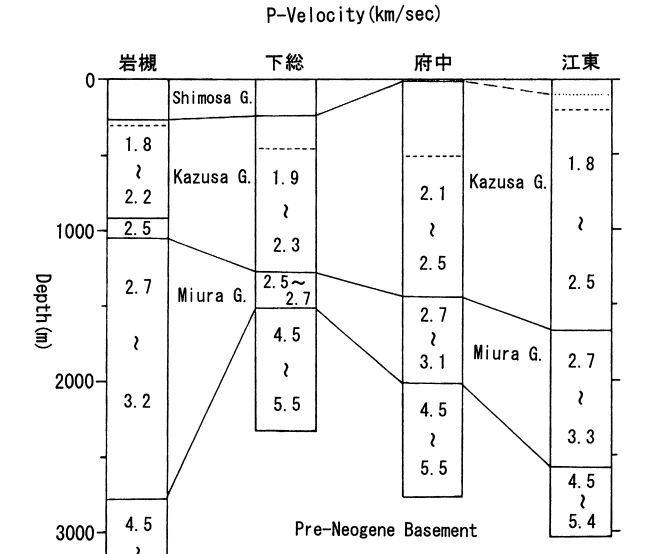


図7 深層観測井のP波速度と地層の対比

5. 4

Fig. 7 Correlation between P-wave velocities and stratigrapies of the deep observation wells.

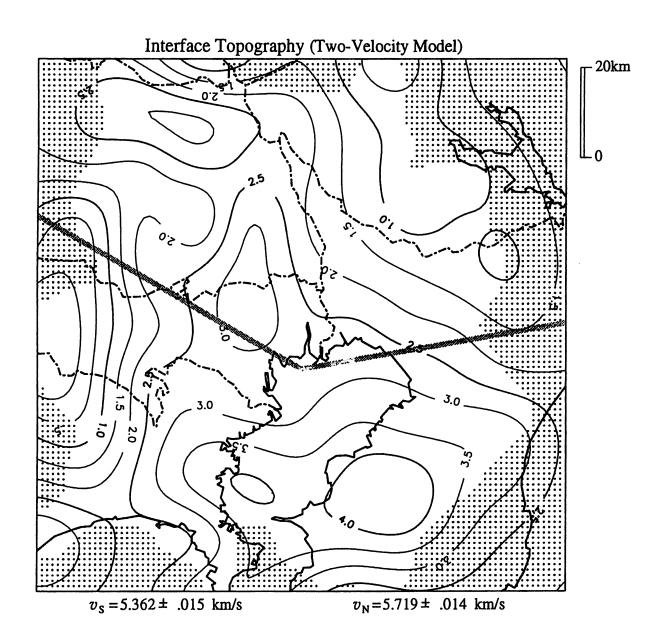


図8 屈折法地震探査による基盤深度分布(纐纈, 1995). 深度コンターは0.5km毎. 基盤のP波 速度は太線を境にして南北で異なっている. 基盤速度は図下に示す. 陰の部分は推定誤差 の大きい領域を示す.

Fig. 8 Depth contour of the sediment/basement interface derived from refraction seismic prospecting (after Koketu, 1995). Depth contours are drawn every 0.5km. The broad line divides the basement into two segments, whose velocities are shown at the bottom. A large error for depth estimation is expressed in the areas shaded by dots.

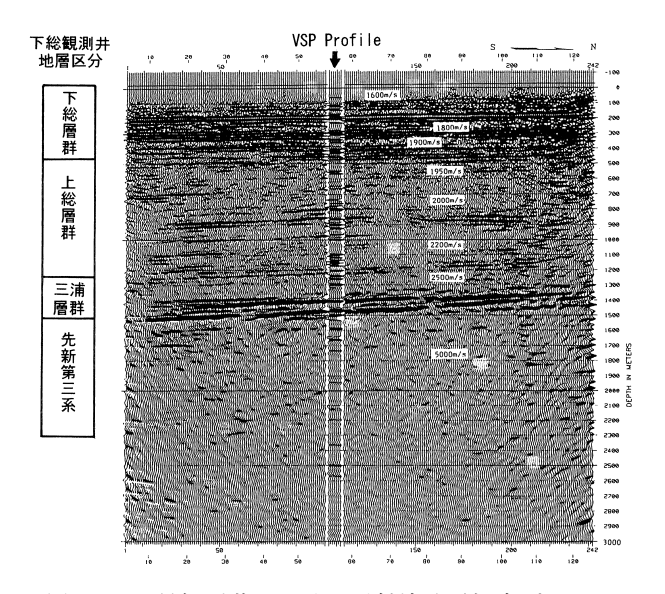


図9 下総観測井における反射法地震探査プロファイル及び VSP プロファイルと地層の対比(山水ほか,1993 に加筆).下総観測井の地質は図左に示す.

Fig. 9 Correlation between reflection seismic profile and the stratigraphy near the Shimosa observation well. The VSP profile is embedded in the center (modified from Yamamizu *et al.*, 1993). The stratigraphy of the Shimosa observation well is shown at the left.

反射断面と地質構造との関連を求めることにより,反射断面から正確な地質構造を得ることが可能になる. 図9 は下総観測井で行った VSP 探査結果と,観測井近傍での反射断面を合成したものである(山水ほか,1993). 図からわかるように,基盤層や地質境界の反射面が特定できるため,地質構造との対比が可能となり,広域的な地質構造を正確に得ることができる. 同様な方法を他の観測井でも行うことによって,関東平野における深部反射構造の特徴を把握することができ,他の反射法探査の解釈にも役立てることができる. 但し,関東平野での反射法地震探査は,都市域の人工的なノイズが過大な場所で行うことが多いため,基盤層などの深部からの反射を得られない場合も多い.

関東平野の重力探査は、国立防災科学技術センター、国土地理院、地質調査所、石油開発会社等によって行われ、それらのデータを同一の規準で編集したブーゲー異常図が駒沢(1985)によって公表されている。また、東京湾では海上保安庁水路部(1986)が重力探査を行っている。これらのデータを用いて、駒沢・長谷川(1988)は重力基盤深度を求めている(図 10)。この重力基盤深度は表層の密度を 2.0g/cm³, 基盤層の密度を 2.5g/cm³ とした時に、ブーゲー異常値から計算される基盤深度であり、概ね先新第三系基盤の深度に該当すると考えられる。関東平野全域を 2 層構造に単純化したモデルのため、地域によってはかなりの誤差を含んでいる可能性があるが、広域的な基盤構造の特徴を把握するためには有効なデータである。

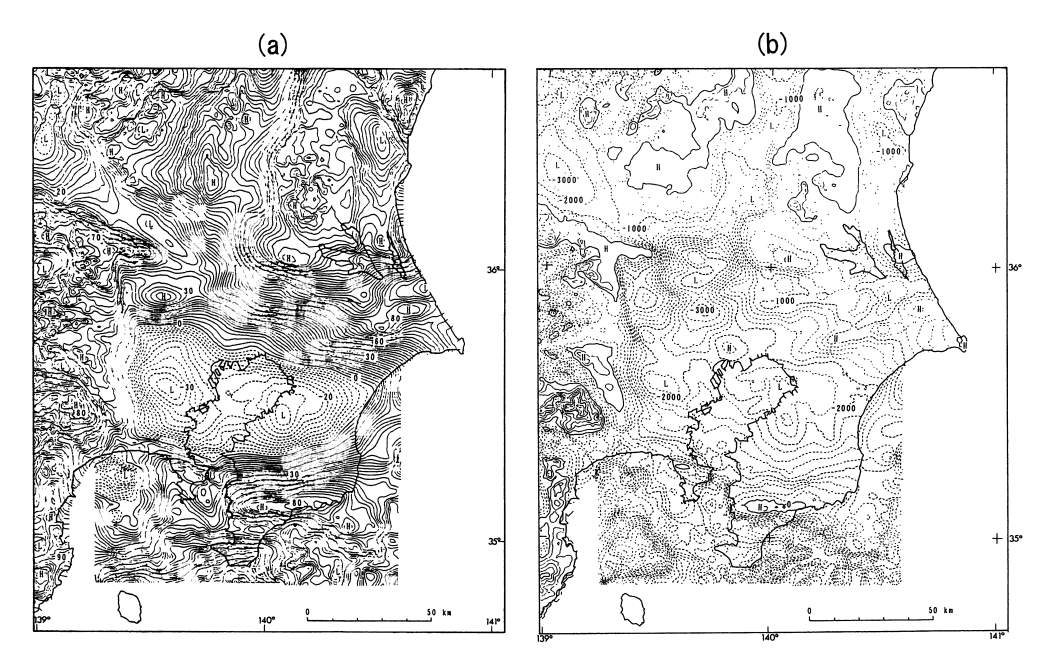


図10 関東平野及び周辺地域の重力探査結果(駒沢・長谷川, 1988 による) (a) ブーゲー異常図 (mgal), (b) 重力基盤深度分布図 (m)

Fig. 10 Bouguer anomalies map and depth distribution of the gravitational basement in the Kanto plain and adjacent area (after Komazawa and Hasegawa, 1988).
(a) Bouguer anomalies map, (b) Depth distribution of the gravitational basement derived from Bouguer anomalies.

5. 地質構造

前章で示したボーリングデータや各種物理探査データ を総合して, 関東平野とその周辺地域の地質構造の解明 を試みた. 地質層序は生成年代の古いものから、先新第 三系, 三浦層群及び相当層(中新世~前期鮮新世), 上 総層群及び相当層(後期鮮新世~前期更新世)及び下総 層群及び相当層(後期更新世)に区分し, それぞれの地 層の深度分布や層厚を求めた. なお, 本研究で用いた新 第三系、第四系の地層区分は足立ほか(1986)(表2)に 従い,模式地の房総半島や三浦半島における三浦層群, 上総層群, 下総層群と同時代の堆積層はそれぞれ相当層 として区分した。前述のように、関東平野の地下におけ る新第三紀以降の地層の区分は、カッティングス試料や 検層だけでは困難な場合も多く,表1に示されている地 層の境界深度もかなりの誤差を含んでいる可能性があ る. そのため、図11以下の作成に当たっては、筆者の判 断によって表1の値とは異なった深度を採用している場 合もある.以下に各層準毎の地質構造の特徴を述べる.

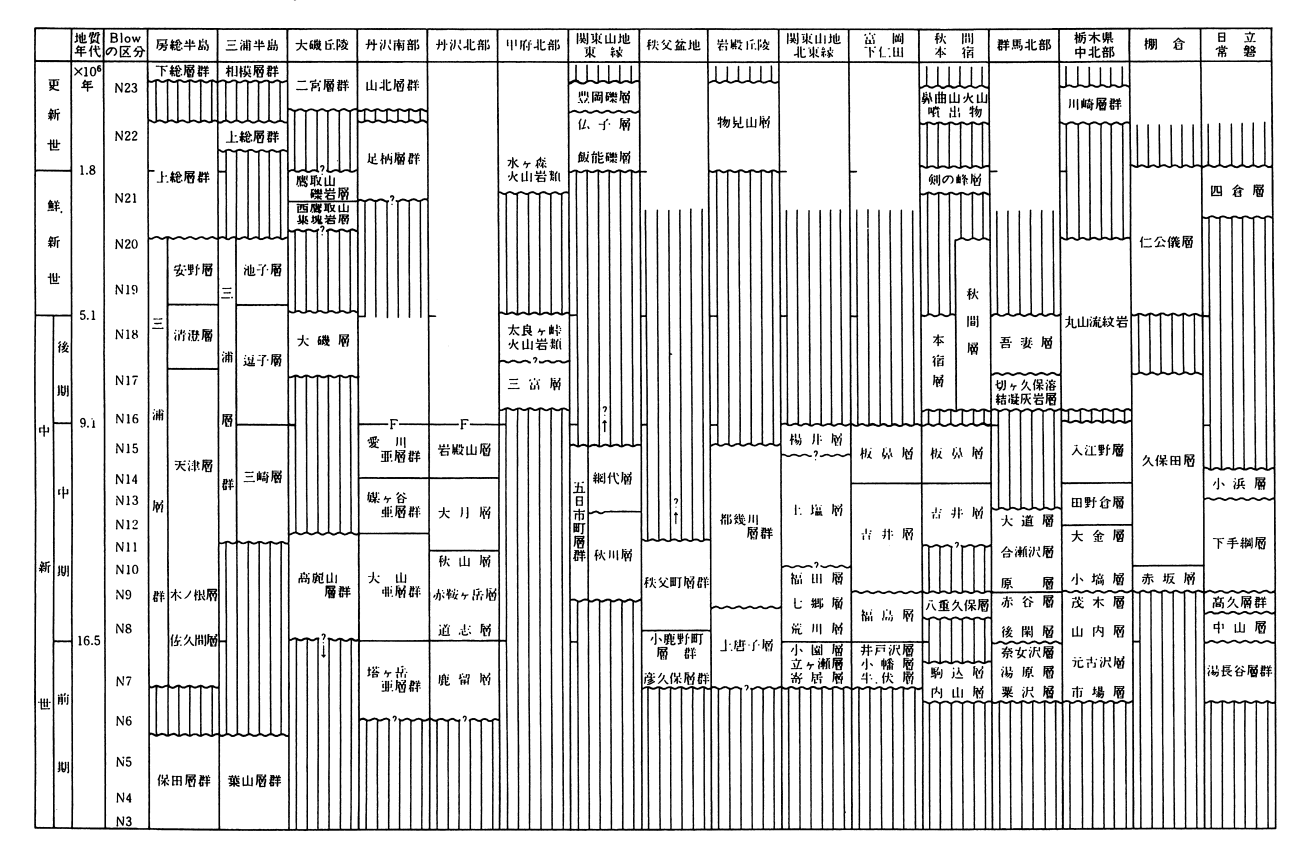
5.1 先新第三系基盤の構造

図11 に先新第三系基盤の上面深度分布を示す. 房総半島, 利根川中流域, 神奈川東部など, 基盤に到達したボーリング孔のない地域については, 地震探査や重力探査の結果を用いて推定した. そのため, それら地域のデータの信頼性はボーリングデータのある地域に比べて低いと考えられる. 先新第三系基盤上面の起伏は, 地表

の平坦さと比較して非常に凹凸に富んでいることが大き な特徴である. 最深部は房総半島中部で4,000m以上に 達し, 利根川中流域や神奈川東部でも 3,500m 以上にな ると推定される(埼玉県消防防災課,1990;神奈川県, 2001). 基盤の低部は北西側から利根川中流に沿って埼 玉県東部に達し、そこから南に向きを変えて南下して神 奈川東部に行き, さらに東に向きを変じて東京湾を越え て房総半島へ続くクランク状の構造を呈している. 関東 山地周辺部では基盤が平野側に急激に落ち込んでおり, その沈降量は山地/平野境界から 5km の間に北縁部で 最大 3,000m, 東縁部で最大 2,000m と推定される. これ らの部分では構造線の存在が知られており、関東山地北 縁部では中央構造線の東方延長部が(武井・小池, 1977), また, 東縁では八王子構造線 (Yabe and Aoki, 1926) が存在するとされ、それらの運動が基盤の急激な 低下に関連していると考えられる.一方,北部の足尾山 地周辺では、基盤の低下は関東山地側に比べて緩やかで ある.図12は利根川中流域を南南西-北北東に切った 断面であるが、南側の基盤傾斜が急で、北側が緩やかな 非対称の谷地形となる. その谷地形の軸部は現在の利根 川のやや南側に位置している. 三浦半島や房総半島で も、南から北へ向かう急激な基盤の低下が見られる。 筑 波山地の西縁部でもやや急な基盤の落ち込みがあり、こ こには烏山-菅生沼断層(石井, 1962)が存在するとさ れている.この断層は南へ行くに従って不明瞭になる.

表2 関東平野及び周辺地域の新第三系,第四系層序区分(足立ほか,1986)

Table 2 Stratigraphy of Neogene and Quaternary Systems in and near the Kanto plain (Adachi *et al.*, 1986).



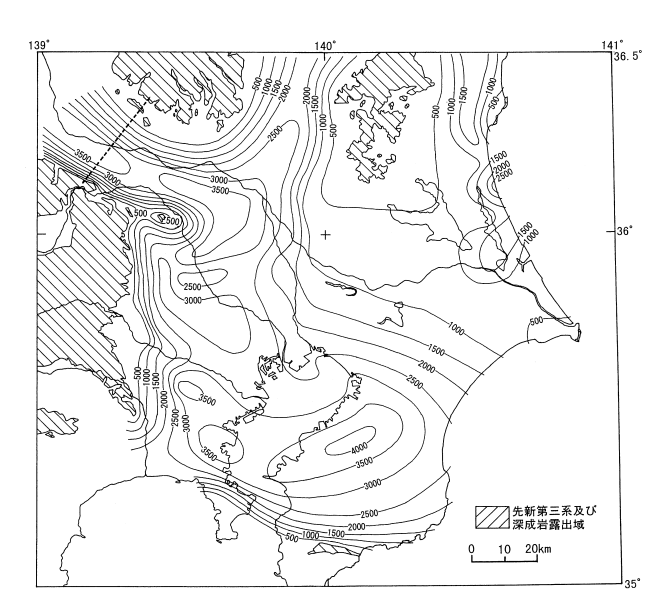


Fig. 11 Depth distribution of upper boundaries of the pre-Neogene systems. Depths are shown from sea level in meters. Broken line indicates location of the profile of **Fig. 12**.

茨城県東部の鹿島灘沿岸地域はかなり複雑な基盤構造を呈しており、最も深い部分で2,500m以上の深度が推定される.埼玉県東部の川越付近には、顕著な高ブーゲー異常域がある(図10参照).図13は高ブーゲー異常域を通る反射断面であるが、2つの測線が交叉する部分付近で、深度約2kmに盛り上がっている強い反射面が先新第三系基盤を示している。このことから、高ブーゲー異常の原因は基盤の盛り上がりによるものであることが明らかになった(鈴木、1998).

5.2 三浦層群及び相当層の構造

図14 は三浦層群及び相当層の層厚分布を示す. 関東 平野においては、房総半島南部や三浦半島を除き、ほと んどすべての地域で先新第三系基盤のすぐ上位に三浦層 群及び相当層が分布している.また,同層の上位には, ほとんどすべての地域で上総層群及び相当層が分布す る. そのため、図14の作成に当たっては、先新第三系基 盤上面深度と上総層群及び相当層の基底深度との差を三 浦層群及び相当層の層厚とした. 東京湾に関しては, 反 射法探査(加藤, 1984)による結果も参考にした。三浦 層群及び相当層の層厚に関しても先新第三系基盤深度の 確実さが、その信頼度を左右する最大の要因である. そ のため、図14においても平野中央部に比較して南部や 西部の解析精度は低いと考えられる。図14から読み取 られる特徴の一つは, 先新第三系基盤の深度分布のパ ターン (図11) と良く類似した層厚分布を示すことであ る. すなわち, 先新第三系基盤の深度が大きな地域では 三浦層群及び相当層の層厚が厚く, 小さな地域では薄い という傾向が顕著に見られる. 三浦層群及び相当層の上

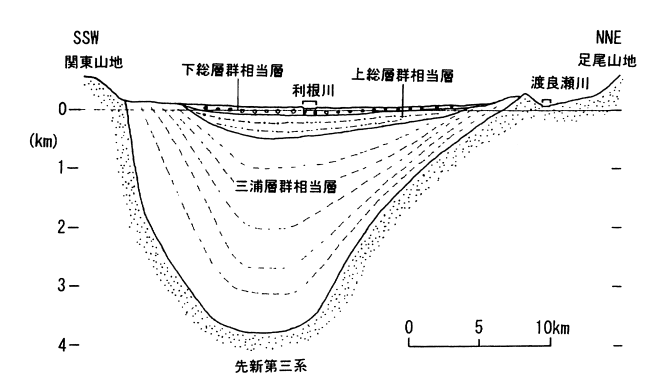


図12 関東山地から足尾山地間の地質断面図. 断面 位置は図11 参照

Fig. 12 Geological profile between Kanto mountains to Asio mountains. Location of the profile is indicated in **Fig. 11**.

面は一般に傾斜の少ない単純な構造なので、このことは 先新第三系基盤の大きな凹凸を本層が埋め立てて、平ら にしていった結果と考えられる。三浦層群及び相当層の 最大層厚部は、利根川中流域や東京湾南部付近にあり、 3,000m以上の厚さが推定される。また、鹿島灘沿岸部 でも部分的に 2,000m以上の厚さがある。一方、茨城県 中・西部から千葉県北部にかけての広い地域では三浦層 群及び相当層の分布が見られず、中新世から鮮新世前期 までの長期間にわたって陸域であったと推定される。

表2で示すように、本論文では中新世前~中期から鮮 新世前期までの堆積層を一括して三浦層群及び相当層と して扱っているが、同層の堆積年代は地域ごとにかなり 異なっている. 石灰質ナンノプランクトン化石分析によ れば、岩槻、所沢、日高、伊勢崎の各孔井では、最下部 に房総半島南部に分布する中期中新世下部の木の根層に 対比される層準が存在する(鈴木・堀内, 2002). これら の孔井の三浦層群相当層の上限は中期中新世中部である (鈴木・小村, 1999). また, 狭山丘陵で得られたボーリ ング試料からも、木の根層に対比される地層の存在が確 認されている (中山ほか, 2000). それに対して, 南側の 府中や横浜の孔井では木の根層に対比される層準は存在 せず,両者の年代は大きく異なっている. 例えば府中の 三浦層群の最下部は後期中新世~前期鮮新世の安野層相 当層である(鈴木・高橋, 1985). また, 中間にある江東 観測井では, 中期中新世から前期鮮新世までの地層が存 在する(鈴木, 1996). 以上のことは、関東平野西部地域 では, 多摩川の北側付近を境にして, 北側地域と南側地 域では三浦層群及び相当層の堆積年代が異なっていたこ とを示すものである.

5.3 上総層群及び相当層の構造

図15 は上総層群及び相当層の基底深度分布を示す. 上総層群及び相当層と下位の三浦層群及び相当層との区別は,カッティングなどの観察だけでは容易でないが,検層データ (特に音波速度や密度)の解析や微化石分析などを行うことによって識別が可能になる。また,反射法地震探査では,上総層群及び相当層は連続性の良い平

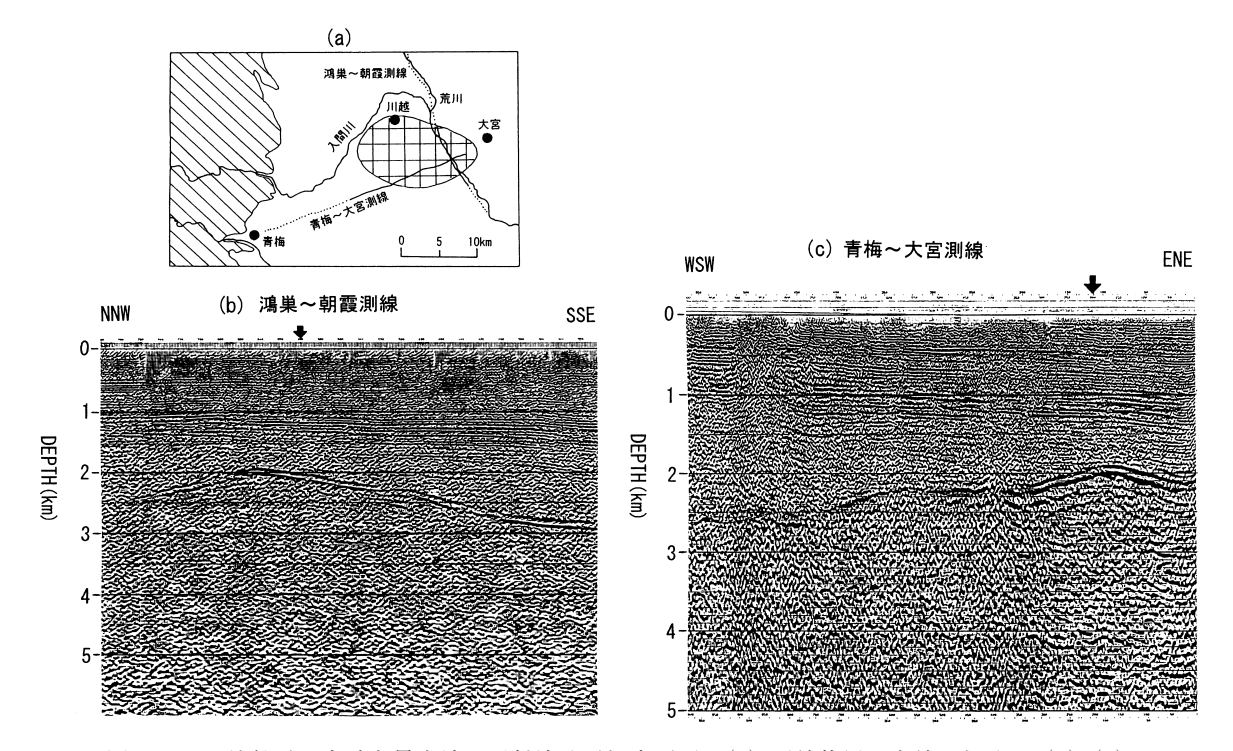


図 13 川越付近の高重力異常域の反射法地震探査断面. (a) 測線位置,実線の部分が(b) (c) に示されている。格子模様で示す部分が 30mgal 以上の高重力異常域を示す. (b) 鴻巣ー朝霞測線の反射断面. 黒矢印の下深さ約 2km に盛り上がっている反射面が基盤を示す. 黒矢印は青梅-大宮測線との交点を示す. (c) 青梅-大宮測線の反射断面. 黒矢印の下深さ約 2km に盛り上がっている反射面が基盤を示す. 黒矢印は鴻巣-朝霞測線との交点を示す.

Fig. 13 Reflection seismic profiles on the high Bouguer anomaly area near Kawagoe city.

(a) Location of profiles. Solid lines indicate location of (b) and (c) profile, respectively. The grid part indicates area of high Bouguer anomalies more than 30mgals. (b) Reflection seismic profile of Konosu-Asaka line. The thick reflection surface, which swells up to about two kilometers beneath black arrow, shows pre-Neogene basement. Black arrow indicates intersection of Ohme-Ohmiya line. (c) Reflection seismic profile of Ohme-Ohmiya line. The thick reflection surface, which swells up to about two kilometers beneath black arrow, shows pre-Neogene basement. Black arrow indicates intersection of Konosu-Asaka line.

らな反射層として示され、その特徴から下位層と区別することができる場合が多い.但し、房総半島や神奈川などでは、下位層とは物性の違いも小さく、構成物質も類似しているので区別が困難な場合が多く、ある程度の誤差は避けられない.

図15によれば、上総層群及び相当層の構造は東京湾北部から房総半島北部を中心とする、東西に長い盆状の構造であり、現在の関東平野の輪郭にほぼ沿う形で形成されている。三浦層群及び相当層が存在しない茨城県から千葉県北部地域にも分布が広がっており、同層の堆積期になって初めて現在の関東平野のほぼ全域が堆積場になったことがわかる。上総層群及び相当層の最深部は房総半島北部の千葉市付近にあると推定され、基底深度は2,000mを越えているが(鈴木・小村、1999)、その付近で同層の基底にまで達したボーリング孔がないため、真の深度は不明である。上総層群及び相当層はほとんどが海成層であり、関東平野東部、西部や東京湾周辺では砂岩、シルト、泥岩やそれらの互層を主体とする、深海~

半深海環境の堆積物が多いが、岩槻、所沢、日高、館林、伊勢崎など埼玉東部や利根川中流域では砂岩、砂礫など浅海や内湾環境の堆積物が優勢となり、関東山地の東縁部では陸成層も分布するようになる。これらのことから、上総層群及び相当層の堆積盆は東京湾北部からたれる。三浦層群の堆積後、後期鮮新世になって、関東平野全域が急激に沈降した結果、上総層群及び相当層の堆積が促進されたものである。図16は上総層群及び相当層の層厚分布を示す。同層の最大層厚部は房総北部~九十九里沿岸部で、その層厚は2,000m以上と推定される。下位の三浦層群及び相当層の最大層厚部(図14)と比較すると、その中心が北東側に移動していることがわかる。

5.4 下総層群及び相当層の構造

本研究では, 先新第三系を含む比較的深い部分の地下 構造を解明することを主な目標としている. そのため,

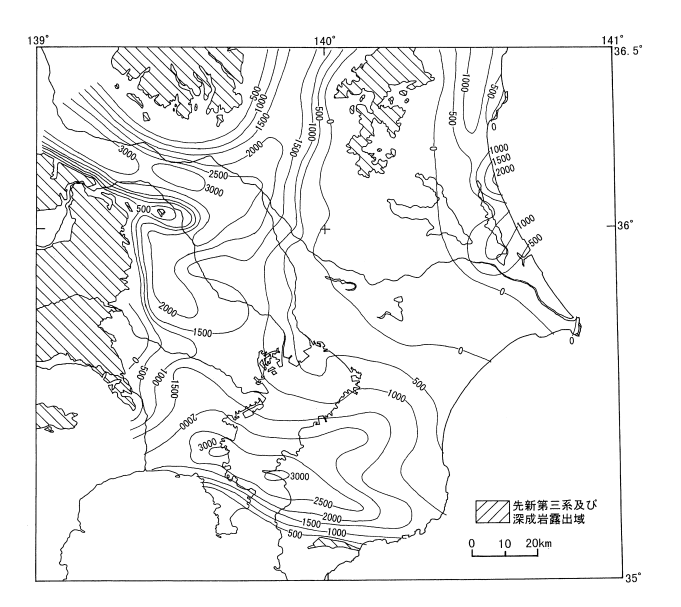


図 14 三浦層群及び相当層の層厚分布 (m)

Fig. 14 Thickness distribution of Miura Group and its equivalents. Thicknesses are shown in meters.

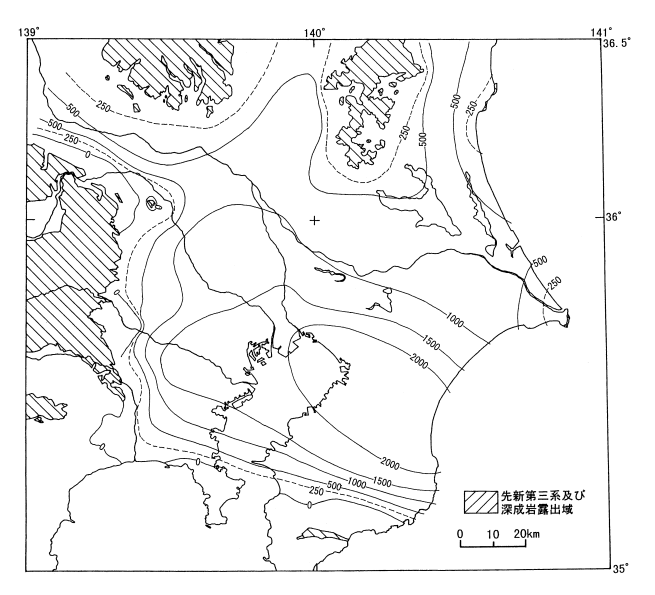


図15 上総層群及び相当層の基底深度分布 (m). 海水準を0mとしたときの深度を示す.

Fig. 15 Depth distribution of basal boundaries of Kazusa Group and its equivalents. Depths are shown from sea level in meters.

上、中部更新統や完新統などの浅い部分の構造に関しては、必ずしも調査が行き渡っていない。ただし、これらの構造に関しては、すでに各地域毎に多くの調査研究が行われているので(例えば、鈴木(尉)ほか、1995;大森ほか(編)、1986 など)、詳しくはそれらを参照されたい。

図17 は下総層群及び相当層の基底深度分布を示す. 下総層群及び相当層と下位層との境界は,カッティングの観察や物理検層からは識別が困難なことが多く,各研

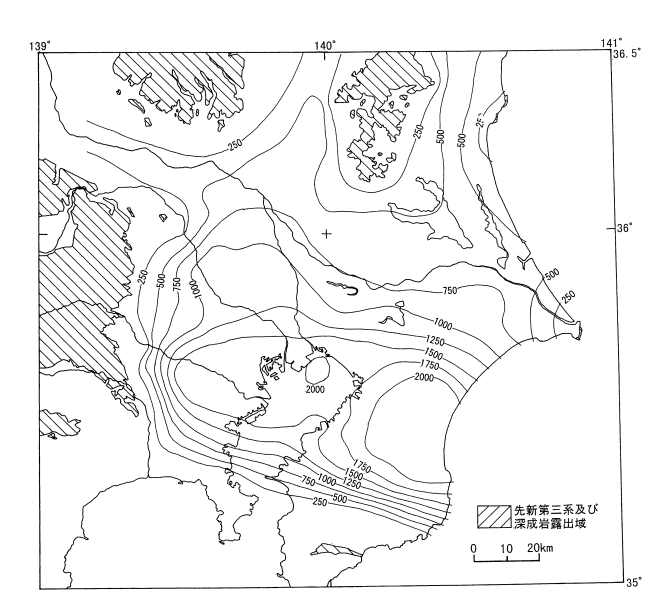


図16 上総層群及び相当層の層厚分布 (m)

Fig. 16 Thickness distribution of Kazusa Group and its equivalents. Thicknesses are shown in meters.

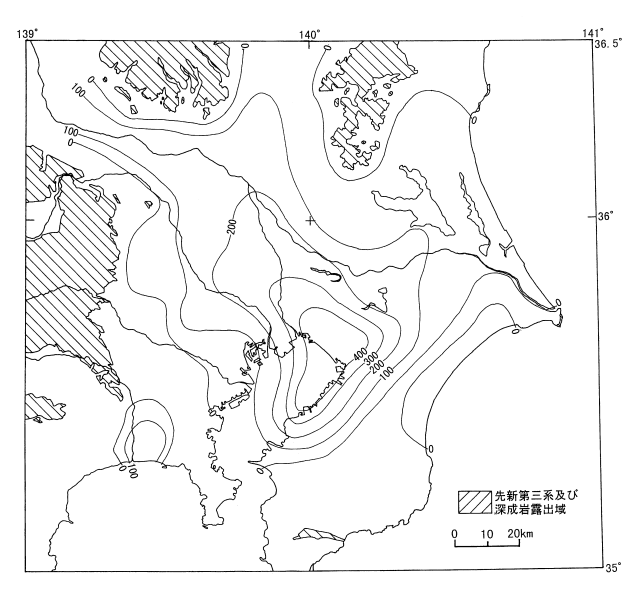


図17 下総層群及び相当層の基底深度分布 (m). 海水準を0mとしたときの深度を示す.

Fig. 17 Depth distribution of basal boundaries of Shimosa Group and its equivalents. Depths are shown from sea level in meters.

究者によってその深度はかなりのバラつきがある.連続コアを用いたテフラの同定,微化石分析,古地磁気方位の測定などを組み合わせた調査を行うことにより正確な対比が可能になるが,そのような解析がなされている例は少ない.東京江戸川区内のコア試料を石灰石ナンノ化石と古地磁気で調べた結果,従来下総層群とされていた地層が上総層群に改められた例(遠藤ほか,1991)のように,今後下総層群及び相当層と下位層との境界はかなり書き換えられる可能性がある.図17は主として原著

者の記載を参考に作成したが、今後の研究の進展によって書き換えられるべき暫定的なものである.

下総層群及び相当層は東京湾奥部及びその沿岸域に最深部を持ち、その深度は 400m を超えると推定される(鈴木(尉)ほか、1995). 堆積盆は東京湾奥部から平野中心部へ延びる北西-南東に長い形状を呈している. 基底部の傾斜は房総側で大きく、平野中央部では緩やかになっており、房総半島側の隆起と東京湾奥部の沈降が平行して進んだことを示唆している. 神奈川地域にも相模川河口付近を中心とする最大層厚 100m 程度の分布がある. 下総層群及び相当層は浅海、内湾性、汽水、陸成などの堆積物が主であり、上総層群の時代に比較して堆積盆の沈降速度が遅くなり、埋め立てが急激に進み、さらに平野周辺部では隆起に転じたことがわかる. 図 15 と比べると、下総層群及び相当層の堆積盆の中心は上総層群の中心よりもやや北側に移動している.

6. 関東平野の地質構造の発達過程

いままで述べてきた各層準毎の構造を基に, 関東平野 の地質構造の発達過程を推察する. 中新世以前の本地域 の構造はよくわからない. おそらく大部分が陸域として 浸食作用を受けていたものと思われる. 現在の関東平野 が本格的に堆積場に変じたのは中新世前期の後半(18 ~17Ma) 以降であり、現在の関東山地のかなりの部分 も含んで、南部、西部、北部地域が海域になったと考え られる. 但し, 鹿島灘沿岸域を除く茨城県地域や千葉県 北部は依然として陸域であった. 16Ma 頃には海進はよ り進行し、海域では堆積が行われた. 当時の堆積の中心 は利根川中流域や神奈川東部~房総中部であり、これら とは別に鹿島灘沿岸域でも堆積が進んだ. 関東山地北縁 や東縁で構造線の運動が始まって, 関東山地の隆起が目 立ってきたのもこのころからであろう. この時期の構造 運動は, 関東山地縁辺部や利根川中流域など一部地域を 除いて緩やかなものであり、基盤の凹凸を徐徐に埋め立 てていたものと推定される. その後、10Ma 頃からは基 盤の埋め立てと海域の浅海化が進み、関東山地などの隆 起も顕著になる. そのため, 7 Ma 頃には, 関東山地周辺 地域ではかなり広範囲に海域が陸化したと推定される. その後, 6 Ma 頃になると再び海進が始まる. 所沢, 岩 槻, 真岡, 伊勢崎などの観測井で6 Ma~3 Ma 頃の地層 が欠徐しているかあるいはごく薄いことから, この海進 は房総,神奈川東部,武蔵野,東京湾北部及び沿岸域が 中心で, 平野中心部にはあまり及ばなかったと推定され る. この海進時に堆積したのが三浦層群及び相当層の上 部層である. その後は再度浅海化及びかなりの部分で陸 化が進んだと考えられ, 東京湾北部周辺地域では, 三浦 層群及び相当層と次の上総層群及び相当層との間で不整 合が認められる. 3 Ma 以降には平野部の急激な沈降と 海進が生じ, 関東山地周縁部など一部地域を除いて現在 の関東平野の大部分が海域と化し, それまで長期間陸域 であった茨城県~千葉県北部地域も海域になった. また 時期を同じくして三浦半島と房総半島南部で葉山~嶺岡 隆起帯の隆起の進行によって海域の南側が堰止められる 状態になったため、東の大平洋側に口を開いたトラフ状 の堆積盆が形成されることになった. この時期の堆積物 が上総層群及び相当層であり、房総半島北部を中心とし て、沈降と埋め立てが急速に進行することによって、短 期間に厚い堆積層が形成された。 関東山地の隆起も引き 続いて進行しており、堆積物の供給も活発に続けられ た. この時期の堆積速度はそれまでに比べて数倍ないし 数 10 倍位の速さであったとされている (新妻, 1976). 嶺岡~葉山隆起帯の隆起が続いたため、南部地域では陸 化が進行し、そのため堆積の中心は北部へ移動してい る. 上総層群及び相当層の最大層厚部は房総半島北部を 中心とする東西方向に長い形状を呈しており, 三浦層群 及び相当層の最大層厚部と比較すると, 房総半島では約 30km 北側へ移動している. また, 利根川中流域では上 総層群及び相当層の厚い堆積はなく,沈降量は大きくな かった. このような状況は北部の栃木県や鹿島灘沿岸部 でも同様である. 上総層群及び相当層の堆積物は北部や 西部の山地に近いほど粗粒のものが多くなる傾向であ り、関東山地の縁辺部では陸成と考えられる地層も存在 する (竹越ほか、1979). このことは周辺山地の隆起と 堆積盆の浅海化,海域の縮小が進行した結果と考えられ

更新世中期(約0.5Ma)以降,下総層群及び相当層の 堆積が始まる.下総層群及び相当層と下位層との関係は 不整合であり,上総層群及び相当層堆積の後,一時的に 海退したあとに堆積が行われたものとされている(鈴木 (尉)ほか,1995).下総層群及び相当層の堆積の中心は 東京湾の千葉寄りの奥部を中心とする地域で,上総層群 及び相当層の堆積中心と比較して北側に移動している. また堆積盆の延長方向も北西方向であり,下位層の東西 方向とは異なっている.

中新世以降の本地域の堆積環境の変遷は、要約すると次の通りである。18~17Ma以降の海進と三浦層群及び相当層(下部層)の堆積、7 Ma 頃の陸化、6 Ma 以降の南部地域及び東京湾周辺地域への海進と三浦層群及び相当層(上部層)の堆積、3 Ma 以降の広範囲で急激な沈降と平野全域への海進による上総層群及び相当層の堆積、0.5Ma 頃の一時的な海退とその後の東京湾奥部地域及び平野中央部への海進による下総層群及び相当層の堆積である。また各層準の堆積中心は年代が新しくなるほど北側へ移動して行く傾向がある。

このような堆積環境の変化は、関東平野及びその周辺地域の基盤の隆起、沈降等の構造運動あるいは全世界的な海水準変動を反映しているものと考えられる。すなわち、18~17Ma以降の海進は、このころから始まった日本海の拡大と、それに伴う日本列島の屈曲(広岡、1984;浜野・当舎、1985など)で、大平洋から日本海へ通ずる海域が生じたことと関係していると考えられる。利根川中流域は西南日本と東北日本の境界域に当たり、ここに断裂が生じて堆積盆が形成されたのであろう。中央構造線の延長部(武井・小池、1977)や、柏崎一銚子線(山

下,1970) などの存在もこの動きに関連するものかも知 れない. 7 Ma 頃の海退は全世界的な現象 (天野, 1985) とされており、日本全域でも広域的な不整合が形成され ている (鹿野ほか、1991). 6 Ma 以降の三浦層群上部層 の堆積は、貝塚(1974)が述べたように、フィリピン海 プレートの北進に伴って丹沢山塊が本州側に衝突したこ とによる関東山地の隆起(天野,1992)によって供給さ れた堆積物が、付加体の構造的な高まりである葉山-嶺 岡帯の隆起で南側を堰き止められて堆積したものであろ う. 3 Ma 以降の急激な沈降と上総層群及び相当層の堆 積に関しては、伊豆弧の衝突に伴ってトラフが関東平野 へ移動したためとする考え(新妻, 1985) がある. 0.5Ma 頃の下総層群及び相当層の堆積に関しては, 同様な変動 が日本列島でほぼ同時に起こっていることから,海水準 の絶対的な上昇による(藤田, 1986)とするものや、東 北日本の北米プレートへの変換(瀬野,1986)と関連づ ける見方がある。 堆積の中心が新しい時代ほど北へ移動 して行く原因の1つとして、フィリピン海プレートの北 西進に伴う葉山-嶺岡帯の隆起の進行が指摘される.

7. 先新第三系の帯状配列について

関東平野下の先新第三系は,ボーリング試料などか ら,大局的には関東山地で見られる西北西-東南東方向 に延びる帯状の配列が、そのまま東側の平野部に連続し ていると考えられている(石井, 1962; 礒見・河田, 1968; 矢島, 1981; 矢島ほか, 1986 など). しかし, この帯状 配列も東の太平洋側に近づくとはっきりしなくなる. 今 回,鈴木(1996)の報告以後に先新第三系に属する地質 データが新たに7点加えられたので、帯状配列の再検討 を行った. 新たなデータは図2の4, 5, 11, 34, 46, 49,56である. 図18に各ボーリング試料の地質区分を 示す. 北から見て行くと, 4 (館林観測井) 及び5 (真岡 市温泉井) はそれぞれ足尾帯及び八溝帯の岩石であり, 足尾帯と領家帯の境界が4の南側(利根川付近?)を通 ることになる. その南側の領家帯に関しては、11(応用 地質実験井)は領家帯の片麻岩(三本ほか,2000)で特 に問題はない.しかし、49(江戸崎観測井)のコアは、非 変成の砂岩, 泥岩を主体とするオリストストロームであ り、領家帯、三波川帯いずれにも属さないものと考えら れる. 外見上は秩父帯の岩石に類似しているが, 砂岩の 組成分析によれば, 四万十北帯の特徴を有しているとの 報告(建設省関東地方建設局,1994)もあり、今のとこ ろ,この岩石の地質構造上の位置は明らかではない.こ の岩石が四万十北帯に属するということが事実であれ ば、紀伊半島で見られるような、領家帯と四万十帯が直 接接している状況(鈴木(博),1987)と類似した構造も 考えられる. 領家帯の南限に関しては,48 (新利根 R-1) の岩石は千枚岩状のもので、三波川帯 (矢島、1981) や 領家帯 (福田ほか, 1988) などの説があり, この付近の 境界ははっきりしない. ここで注目されるのは, 手賀沼 を横断する反射波地震探査(図6の20)や利根川を横断 する探査(図6の19)で、手賀沼や利根川の北側部分

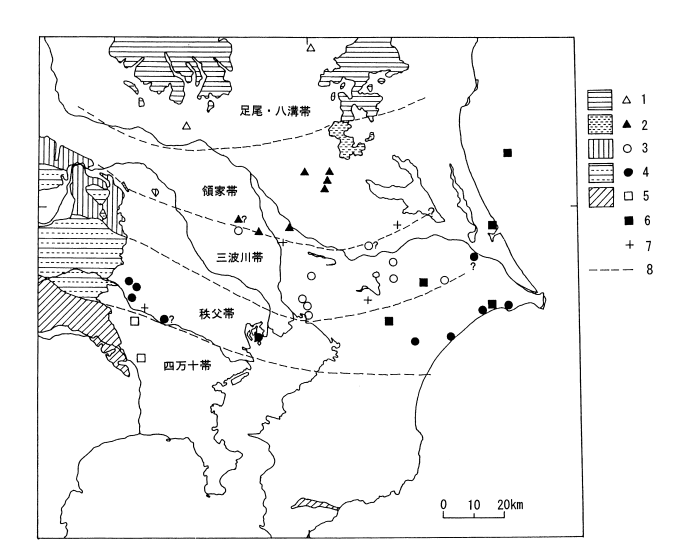


図18 関東平野下及び周辺の先新第三系の分布 1:足尾・八溝帯,2:領家帯,3:三波川帯, 4:秩父帯,5:四万十帯,6:白亜系,7:所 属不明のもの,8:推定地質境界

Fig. 18 Geology of pre-Neogene Systems near and beneath the Kanto plain.

1: Asio-Yamizo belt, 2: Ryoke belt, 3: Sanbagawa belt, 4: Chichibu belt, 5: Shimanto belt, 6: Cretaceous, 7: Unindentified, 8: Estimated geological boundaries.

で, 基盤層上面の凹凸が南側の基盤層に比べて大きく, 両者の間には明らかな違いが見られることである. この ことは、利根川付近を境にして基盤の岩石が異なってい る可能性を示すものであり、利根川付近に地質境界が存 在する可能性は大きい. 56 (成田観測井) は千枚岩, 泥 質片岩,緑色片岩が主であり,三波川帯の岩石である. 三波川帯/秩父帯の境界に関しては,46(船橋温泉井) の岩石は、御荷鉾系に類似した変成岩とされており (富 士ボーリング, 私信), この南側付近に境界が存在する と考えられる. 秩父帯の南限に関しては、多摩川付近を 通るとする前報の結果は変更ない. 33 (府中観測井) の 岩石を四万十帯とする説 (矢島ほか、1986) もあるが、 それでも多摩川付近ということは大きくは変わらない. なお,31 (立川試錐) は,報告書 (遠藤ほか,1978) を 見る限り, 秩父帯の岩石の可能性が大きいと考えられ る. 34 (相模原温泉井) の岩石は、相模湖層群または小 仏層群の砂岩(小沢ほか、1999)とされており、四万十 帯に属するものである. 以上, 新たな地質データから は,前報を大きく変更すべき結果は得られなかったが, 地質境界の位置はより限定されるようになった. 但し, 東側の太平洋寄りの地域は依然として不明確であり,今 後のより詳細な調査が必要である.

8. まとめ

関東平野の地下地質構造について,ボーリングデータ,物理探査データを基に解析を行い,以下のような結果が得られた.

- (1) 先新第三系基盤は非常に凹凸に富む構造を呈する. 最深部は房総半島中部で4,000m以上に達し,利根 川中流域や神奈川東部でも3,500m以上に及ぶと推 定される.また,鹿島灘沿岸地域でも2,500m以上 の深度が推定される.基盤の低部は利根川中流域, 埼玉東部,神奈川東部,房総半島中部を連ねるクラ ンク状の構造を呈する.
- (2) 三浦層群及び相当層の層厚は、基盤深度の深い部分で厚く、浅い部分で薄い特徴を示し、同層が基盤層の凹部を埋め立てながら堆積したことを示している。三浦層群及び相当層の最大層厚部は房総半島中部、神奈川東部、利根川中流域で、その厚さは3,000mを超すと推定される。鹿島灘沿岸地域でも2,000m以上の層厚の部分がある。茨城県中・西部から千葉県北部には同層は分布しない。
- (3) 上総層群及び相当層は、東京湾北部から房総半島中部を中心とする東西に延びる盆状の構造を呈し、その分布は関東平野のほぼ全域に及んでいる。同層の基底は房総半島北部で最も深く、2,000m以上となる。また、最大層厚部も房総北部で、厚さは2,000m以上である。三浦層群及び相当層に比べて、上総層群及び相当層の最大層厚部は北側に移動している。
- (4) 下総層群及び相当層は東京湾奥部及びその沿岸地域に最深部を持ち、平野中央部に分布が広がっている。基底部の最大深度は 400m を超えると推定される。相模川河口付近にも最大層厚 100m 程度の分布がある。
- (5) 中新世以降の関東平野の堆積環境の変遷は、次のように要約される. 18 ~ 17Ma 以降の海進と三浦層群及び相当層(下部層)の堆積、7 Ma 頃の陸化、6 Ma 以降の東京湾周辺域への海進と三浦層群及び相当層(上部層)の堆積、3 Ma 以降の広範囲で急激な沈降と平野部全域への海進による上総層群及び相当層の堆積、0.5Ma 頃の一時的な海退とその後の東京湾奥部及び平野中央部への海進による下総層群及び相当層の堆積である. 各層準の堆積中心は、年代が新しくなるほど北側へ移動して行く傾向がある.
- (6) 新たな基盤データを基に、先新第三系の帯状配列の 再検討を行った。従来の見解を大きく変更すべき結 果は得られなかったが、地質境界の位置はより限定 されるようになった。東側延長部に関しては、依然 として不明確であり、今後の詳細な調査が必要である
- (7) 房総半島,神奈川東部,利根川中流域などの地域では,先新第三系にまで達した試錐等の,確実な基盤情報がないため,他地域に比べて解析の精度が低いと考えられる。今後,これら地域で,深層試錐を含めた精度の高い地下構造調査の実施が期待される。

謝辞

下記の各位にはボーリングデータや物理探査データを ご提供またはご教示いただき,本研究を進める上で非常

に役に立った. 記して厚く感謝する.

富士ボーリング株式会社,株式会社ドリコ,日鉱探開株式会社,東京地質株式会社,真岡市役所,埼玉県環境部消防防災課,千葉県総務部消防地震防災課.

査読者のコメントは、論文の改良に役立った.厚く感謝する.

参考文献

- 1) 足立久男・小玉喜三郎・天野一男 (1986):第2章 新第三系. 日本の地質3関東地方,78-81,共立出版.
- 2) 天池文雄・植竹富一・中村亮一・小林啓美・井 川 猛 (1992): 船橋市における反射法地下構造調 査. 日本地震学会講演予稿集, 2, 150p.
- 3) 天野一男 (1985): 大洪水時代 西黒沢海進と海 水準変動 —. 科学, **55**, 42-46.
- 4) 天野一男 (1992): 南部フォッサマグナー多重衝突 テクトニクスの新局面. 月刊地球, 号外, No. 5, 145-148.
- 5) 千葉県 (1998):東京湾北縁断層に関する調査成果 報告書 (概要版).
- 6) 千葉県 (2001):関東平野 (千葉県西部地域) の地 下構造調査. 第2回堆積平野地下構造調査成果報 告会予稿集, 49-58, 文部科学省.
- 7) 地球科学総合研究所 (1995): 防災科学技術研究所 平成 6 年度地震波反射法による地殼構造調査報告 書.
- 8) 遠藤秀典・上嶋正人・山崎俊嗣・高山俊昭(1991): 東京江戸川区 GS-ED-1 ボーリングコアの古地磁 気・石灰質ナンノ化石層序. 地質学雑誌, 97, 419-430.
- 9) 遠藤秀典・杉山雄一・渡辺司郎・牧野雅彦・長谷 川功(1997):浅層反射法弾性波探査による関東平 野中央部の地下地質構造. 地球科学, **51**, 15-28.
- 10) 遠藤 毅・川島真一・川合将文(1978): 立川市付近の地下地質. 昭和53年度東京都土木技術研究所年報,367-377.
- 11) 福田 理 (1962):春日部層序試錐 (予報) 坑井 地質を中心として —. 地質ニュース, **100**, 1-16.
- 12) 福田 理 (1964):藤岡層序試錐 (予報) 孔井地 質を中心として —. 地質ニュース, **114**, 1-10.
- 13) 福田 理・高橋 博・大八木規夫・鈴木宏芳 (1974): 坑井地質にみる関東平野の基盤. 地質 ニュース, 234, 8-17.
- 14) 福田 理・垣見俊弘・河内英幸・高木慎一郎・田中信一 (1976):川崎地区水位水質観測井について (その1坑井編①). 地質ニュース, **259**, 1-14.
- 15) 福田 理・永田松三・鈴木宏芳 (1988): 関東平野 の地下地質と地層流体. 地質学論集, **31**, 5-40.
- 16)藤田和夫(1986):中期更新世の断層地塊運動と海水準変動.月刊地球,8,725-728.
- 17) 原子力発電技術機構(1996):平成6年度原子力発

- 電立地確証調査に関する報告書(5).
- 18) 浜野洋三・当舎利行 (1985): 東北日本の運動と古 地磁気学. 科学, **55**, 476-483.
- 19) 長谷川功 (1988): 地震探査から見た関東平野の基 盤構造、地質学論集、**31**、41-56.
- 20) 畠山 勉 (1964): 関東平野における物理探鉱の総 合的研究. 物理探鉱, 17, No. 2, 2-23.
- 21) 樋口 雄 (1964):千葉県ガス田地域における微化 石層位学的研究. 東北大学理学部地質学古生物学 教室邦文報告, **61**, 1-48.
- 22) 樋口 雄·斉藤 浩 (1965):千葉県ガス田地域西 部における微化石相に関する考察. 石油技術協会 誌. **30**, 261-268.
- 23) 広岡公夫 (1984): 古地磁気からみた日本列島の変動. 科学, 54, 541-548.
- 24) 池田隆司・塚原弘昭 (1987): 関東・東海地域における水圧破壊法による地殻応力の測定 茨城県石下町,山梨県芦川村 —. 地震予知連絡会会報, 37, 179-183.
- 25) 石田勝彦・佐々木俊二・井川 猛・熊井 基・足 立幾久・武村雅之・山中浩明・小林啓美・嶋 悦 三・瀬尾和大・入倉孝次郎 (1993): 広帯域地震動 予測の為の深部構造探査法研究. 地震学会講演予 稿集, 2, 111p.
- 26) 石井基裕 (1962): 関東平野の基盤. 石油技術協会 誌, **27**, 615-640.
- 27) 石和田靖章・樋口 雄・菊池良樹 (1962): 南関東 ガス田の微化石層序. 石油技術協会誌, **27**, 68-77.
- 28) 石和田靖章・三梨 昂 (1965): 大佐和層序試錐. 地質ニュース, 133, 2-4.
- 29) 礒見 博・河田清雄 (1968): フォッサ・マグナ両 側の基盤岩類の対比. 日本地質学会 75 年秋季学術 大会討論会資料,フォッサ・マグナ,4-12.
- 30) 伊藤公介・長谷川功・佐藤隆司・相原輝雄・楠瀬 勤一郎・高橋 学・渡辺司郎・横倉隆伸・小玉喜 三郎(1987):屈折法による地下構造調査 — 房総 半島地域.「首都圏における直下型地震の予知及び 総合防災システムに関する研究」研究成果報告書, 173-183,科学技術庁研究開発局.
- 31) 海上保安庁水路部 (1986):東京湾北部の海上重力 測量, 地震予知連絡会会報, **35**, 203-206.
- 32) 貝塚爽平 (1974):関東地方の島弧における位置と 第四紀地殻変動. 関東地方の地震と地殻変動, 99-118, ラティス.
- 33) 垣見俊弘·衣笠善博·木村政昭(編)(1973):後期新生代地質構造図「東京」. 地質調査所.
- 34) 神奈川県 (2001): 関東平野南部 (神奈川県地域) の地下構造. 第2回堆積平野地下構造調査成果報 告書予稿集, 19-28, 文部科学省.
- 35) 鹿野和彦・加藤碩一・柳沢幸夫・吉田史郎(編) (1991):日本の新生界層序と地史. 地質調査所報

- 告, **274**, 1-114.
- 36) 笠原敬司・鈴木宏芳・高橋 博 (1976): 東京西部 地区基盤調査について (2). 昭和 51 年度地震学会 講演予稿集, **2**, 139p.
- 37) 笠原敬司・山水史生・井川 猛・足立幾久(1993): 関東平野トランセクト — 川越 — 関宿測線における平野部活断層の地震波反射断面図 —. 日本地震学会講演予稿集, 2, 262.
- 38) 笠原敬司・山水史生・井川 猛・足立幾久(1994): 関東平野トランセクト — 大宮 — 青梅測線における平野部活断層の地震波反射断面図 —. 日本地震学会講演予稿集, 2, 380.
- 39) 笠原敬司・山水史生・木村尚紀・井川 猛・太田 陽一・重田晃之 (1997): 関東平野北部の地震波反 射法による地下構造. 地球惑星科学関連学会 1997 年合同大会予稿集, 274.
- 40) 加藤 茂 (1984):東京湾におけるマルチチャンネル反射法音波探査,水路部研究報告. **19**, 1-57.
- 41) 河井興三 (1961): 南関東ガス田地帯についての鉱 床地質学的研究,石油技術協会誌. **26**, 212-266.
- 42) 川崎市 (2001):関東平野南部 (川崎市) の地下構造調査. 第2回堆積平野地下構造調査成果報告会 予稿集, 39-48, 文部科学省.
- 43) 川崎慎治・笠原敬司・井川 猛・川中 卓(2001): 関東平野成田市北方におけるバイブロサイス深部 地下構造調査. 地球惑星科学関連学会 2001 年合同 大会予稿集, S2-P011.
- 44) 川島真一・遠藤 毅 (1972):武蔵野台地北部の深 層地質について. 昭和 47 年度東京都土木技術研究 所年報, 101-115.
- 45) 川島真一・川合将文 (1977): 東京都東大和市における層序試錐結果について. 昭和 52 年度東京都土 木技術研究所年報, 393-407.
- 46) 川島真一・川合将文 (1980):武蔵村山市付近の地 下地質. 昭和 55 年度東京都土木技術研究所年報, 225-234.
- 47) 川島真一・川合将文 (1983): 東村山市における層 序試錐結果と北多摩地区北部の帯水層の分布形 態. 昭和58年度東京都土木技術研究所年報,177-188
- 48) 川島真一・川合将文・遠藤 毅・石井 求 (1984): 八王子市付近の水文地質. 昭和 59 年度東京都土木 技術研究所年報, 261-270.
- 49) 川島真一・川合将文・遠藤 毅・石井 求 (1985): 瑞穂町付近の水文地質. 昭和 60 年度東京都土木技 術研究所年報, 275-283.
- 50) 川島真一・川合将文・遠藤 毅・石井 求 (1990): 武蔵野台地西部の水文地質. 平成2年度東京都土 木技術研究所年報, 249-258.
- 51) 建設省関東地方建設局 (1994): 防災科研江戸崎地 設活動観測井さく井工事報告書, 343pp.
- 52) 城戸秀夫 (1964):埼玉県松伏 SK-1 号井の地質及

- び関東中部の一地質断面について. 石油技術協会 誌, **29**, 191p.
- 53) 菊池良樹 (1963): 房総半島における上総層群の微 化石層序. 石油技術協会誌, **28**, 120-125.
- 54) 菊池良樹 (1964):南関東の新第三系および第四系 の微化石層位学的研究.東北大学理学部地質古生 物学教室邦文報告,**59**,1-36.
- 55) 駒沢正夫 (1985): 20 万分の1 関東地域重力図 (ブーゲー異常図). 特殊地質図 No. 24, 地質調査 所.
- 56) 駒沢正夫・長谷川功 (1988): 関東地方の重力基盤 に見える断裂構造. 地質学論集, **31**, 57-74.
- 57) 纐纈一起 (1995):首都圏の基盤構造. 物理探査, 48, 504-518.
- 58) 米谷盛寿郎・井上洋子・秋葉文雄 (1981): 6. 鹿島灘. 日本の新第三系の生層序及び年代層序に関する 基本 資料「続編」, IGCP-114, NATIONAL WORKINGGROUP OF JAPAN, 13-17.
- 59) 三本健四郎・山根 誠・吉田 浩・岡野 肇・妹 尾洋一・原 郁夫 (2000):つくば技術開発セン ター1350mボーリングコアの地質学 (1) 基盤岩 類の地質概観,応用地質技術年報, 20, 43-86.
- 60) 文部科学省(2001):第2回堆積平野地下構造調査成果報告会予稿集,78pp.
- 61) 中里 薫 (1992): 飯能市入間側右岸から温泉湧 出. 新版埼玉県地学のガイド, 95-96, コロナ社.
- 62) 中山俊雄・中村正明・松延隆志 (1998): 浅層反射 法弾性波探査による足立区北部の地下地質構造. 平成10年度東京都土木技術研究所年報,235-244.
- 63) 中山俊雄・川島真一・川合将文・三梨 昂・佐藤 時幸(2000):立川断層の活動史. 日本地質学会第 107年学術大会講演要旨, 103.
- 64) 新妻信明 (1976): 房総半島における古地磁気層位学, 地質学雑誌. 82, 163-181.
- 65) 新妻信明 (1985): 変動している日本列島 新第 三紀テクトニクスとプレート沈み込み. 科学, **55**, 53-61.
- 66) 楡井 久・樋口茂生・原 雄・石井 皓・白井常 之・古野邦雄・真鍋健一・立石雅昭 (1972): 船橋 市地域の地下地質と地盤沈下観測井. 千葉県公害 研究所研究報告, 1, 47-74.
- 67) 楡井 久・樋口茂生・原 雄・古野邦雄 (1975):東京湾地下における上総層群中の不整合現象について. 地質学雑誌, **81**, 559-565.
- 68) Okada, H. and Bukry, D. (1980): Supplementary modification and introduction of code numbers to the low-latitude cocolith biostratigraphic zonation. Marine Micropaleontology, **5**, 321-325.
- 69) 大森昌衛・端山好和・堀口万吉(編)(1986):日本の地質3関東地方,335pp,共立出版.
- 70) 小沢 清・江藤哲人・大山正雄・長瀬和雄・松沢 親悟 (1999):温泉掘削井による神奈川県中央部の

- 地下地質. 神奈川県温泉地学研究所報告, **30**, 41-52
- 71) 埼玉県消防防災課(1990): 大規模地震被害想定想 定調査報告書, 407pp.
- 72) 埼玉県 (1997):埼玉県の活断層調査.
- 73) 石油公団 (2000):平成10年度国内石油天然ガス基 礎調査. 海上基礎物理探査「房総沖浅海域」調査 報告書.
- 74) 瀬野徹三 (1986):日本列島の中期更新世 50万年前に何が起こったか? —. 月刊地球, 8,708-715.
- 75) 瀬尾和大・小林啓美 (1980):人工地震による首都 圏南西部の地下深部探査 夢の島 江ノ島測線 の地下構造 . 地震 2, 33, 23-36.
- 76) 嶋 悦三・柳沢馬住・工藤一嘉・瀬尾和大・山崎 謙介 (1976):東京の基盤構造その 2. 地震研究所 彙報、**51**. 45-61.
- 77) 嶋 悦三・柳沢馬住・工藤一嘉・吉井敏尅・瀬尾 和大・黒羽公明 (1978a):東京の基盤構造その3. 地震研究所彙報, **53**, 305-318.
- 78) 嶋 悦三・柳沢馬住・工藤一嘉・吉井敏尅・瀬尾和大・大保正人・星野 務・長能正武 (1978b): 東京の基盤構造その4. 地震研究所彙報, **53**, 1245-1255.
- 79) 嶋 悦三・柳沢馬住・工藤一嘉・瀬尾和大 (1981): 東京の基盤構造その 5. 地震研究所彙報, **56**, 265-276.
- 80) 首都圏基盤構造研究グループ (1989): 夢の島人工 地震実験資料集, 277pp.
- 81) 杉山雄一·遠藤秀典·廉沢 宏·下 泰彦 (1995): 音波探査による首都圏の伏在断層. 物理探査, **48**, 490-503.
- 82) 杉山雄一・須貝俊彦・井村隆介・水野清秀・遠藤 秀典・下川浩一・山崎晴雄(1997):50 万分の1活 構造図「東京」(第2版). 地質調査所.
- 83) 鈴木宏芳 (1996): 江東深層地殼活動観測井の地質 と首都圏地域の地質構造. 防災科学技術研究所研 究報告, No. **56**, 77-123.
- 84) 鈴木宏芳 (1998): 関東平野の基盤構造. 日本地震 学会講演予稿集, B81.
- 85) 鈴木宏芳・池田隆司・御子柴正・木下繁夫・佐藤 春夫・高橋 博 (1981): 関東・東海地域における 孔井検層資料集. 防災科学技術研究資料, No. **65**, 1-162.
- 86) 鈴木宏芳・高橋 博・福田 理 (1983):下総深層 地殻活動観測井の作井と坑井地質。国立防災科学 技術センター研究速報, No. 48, 1-61.
- 87) 鈴木宏芳・高橋 博(1985): 府中地殻活動観測井 の作井と坑井地質. 国立防災科学技術センター研 究速報, No. **64**, 1-84.
- 88) 鈴木宏芳・広部良輔・渡辺 健(1993):人工地震 による神奈川県東部地域の地下構造調査. 防災科

- 学技術研究所研究報告, No. 51, 23-40.
- 89) 鈴木宏芳・小村健太朗 (1999): 関東地域の孔井 データ資料集. 防災科学技術研究所研究資料, No. **191**, 1-80.
- 90) 鈴木宏芳·堀内誠示 (2002):関東平野の深層観測 井地質試料のナンノ化石分析, 防災科学技術研究 所研究資料, No. 225, 1-71.
- 91) 鈴木博之 (1987): 四万十累帯. 日本の地質 6「近 畿地方」, 90-110, 共立出版.
- 92) 鈴木尉元・小玉喜三郎・三梨 昂・岡 重文・ト 部厚志・遠藤 毅・堀口万吉・江藤哲人・菊地隆 男・山内靖喜・中嶋輝充・徳橋秀一・楡井 久・ 原 雄・中山俊雄・奈須紀幸・加賀美英雄・木村 政昭・本座英一 (1995):10 万分の1 東京湾とその 周辺地域の地質(第2版). 特殊地質図(20), 地質 調査所.
- 93) 高橋 博・福田 理・鈴木宏芳・田中耕平 (1983): 岩槻深層地殻活動観測井の作井と坑井地質. 国立 防災科学技術センター研究速報, No. 47, 1-113.
- 94) 武井硯朔・小池美津子 (1977): 関東山地北縁部から菫青石石墨雲母片麻岩の発見. 地質学雑誌, **83**, 433-435.
- 95) 竹越 智·石垣 忍·足立久男·藤田至則 (1979): 関東山地東縁の鮮新 — 更新世の堆積盆地の発生 に関する研究、地質学雑誌, **85**, 557-569.
- 96) 帝国石油(1974):国土地理院地殼活動観測井掘削報告書.
- 97) 利根地下技術株式会社 (1996): 防災科学技術研究 所平成7年度大洋村における地質調査および付帯 工事「地震波反射法地質調査」報告書.
- 98) 塚原弘昭・池田隆司・高橋 博(1983):水圧破壊 法による地殻応力測定 — 山梨県都留市および茨 城県筑波での測定 —. 地震学会予稿集, 2, 107p.
- 99) 塚原弘昭・池田隆司 (1986): 関東・東海地域における水圧破壊法による地殻応力の測定 茨城県 鹿島郡波崎町, 千葉県安房郡千倉町 —. 地震予知 連絡会会報, **35**, 193-196.
- 100) 鶴田均二 (1965): 関東北部における中新統中の不整合と天然ガス徴候. 石油学会誌, **8**, 102-105.
- 101) Yabe, H. and R. Aoki (1926): The great Kanto earthquake of September 1, 1923, geologically considered. Ann. Rep. Work. Saito Ho-Onkai, 1, 70-83.
- 102) 矢部長克·青木廉二郎 (1927): 関東構造盆地周縁 山地に沿える段丘の地質時代. 地理学評論, 3, 79-87.
- 104) 矢島敏彦·吉田 尚·鈴木尉元·楡井 久 (1986):

- 関東平野の先新第三系基盤. 日本の地質 3 「関東地方」、76-78、共立出版.
- 105) 山口和雄·木口 努·横田俊之·横倉隆伸(1994): 茨城県下館市における反射法探査. 地震 2, 47, 33-41
- 106) 山口和雄・加野直巳・横田俊之・横倉隆伸・木口 努 (1996): 反射法地震探査で見た埼玉県櫛引地域の地下構造. 地震 2, 49, 327-335.
- 107) 山口和雄・加野直巳・横倉隆伸・木口 努・横田 俊之・田中明子・佐藤比呂志 (2000): 深谷断層周 辺における反射法地震探査. 地震 2,53,115-125.
- 108) 山口和雄・加野直巳・横倉隆伸・木口 努・横田 俊之・今西和俊・伊藤久男・佐藤比呂志 (2001): 茨 城県南西部における反射法地震探査 — 中央構造 線の推定通過域付近の基盤構造. 地球惑星科学関 連学会 2001 年合同大会予稿集, S2-P012.
- 109) 山水史生・笠原敬司・鈴木宏芳・井川 猛・足立 幾久 (1993):下総深層観測井における反射法地震 探査. 日本地震学会講演予稿集, 2, 261p.
- 110) 山水史生・笠原敬司・井川 猛・足立幾久 (1995): 府中深層観測井付近おける反射法地震探査. 地球 惑星科学関連学会 1995 年合同大会予稿集, 636p.
- 111) 山中浩明・瀬尾和大・佐間野隆憲・翠川三郎 (1985):人工地震による首都圏南西部の地下深部 探査(2)—黒川-岡津測線および長津田測線の 地下構造—. 地震 2, 39, 607-620.
- 112) 山中浩明・瀬尾和大・佐間野隆憲・翠川三郎・嶋 悦三・柳沢馬住 (1988):人工地震による首都 圏南西部の地下深部探査 (3) — 1983, 1984 年度に 実施された人工地震の総合的解析 —. 地震 2, 41, 527-539.
- 113) 山中浩明・瀬尾和大・佐間野隆憲(1991):人工地 震による首都圏南西部の地下深部探査(4) — 横 浜市舞岡発破および大黒発破による人工地震波の 解析 —. 地震 2, 44, 9-20.
- 114) 山下 昇 (1970):柏崎-銚子線の提唱. 島弧と海 洋, 179-191, 東海大学出版会.
- 115) 横浜市 (2001): 関東平野 (横浜市地域) の地下構造調査. 第2回堆積平野地下構造調査成果報告会 予稿集, 29-38, 文部科学省.
- 116) 横倉隆伸・渡辺史郎・加野直巳・山口和雄・田中 信一 (1985):筑波山麓東縁の深部地質構造. 地震 2, **38**, 497-511.
- 117) 座間信作・柳沢馬住・嶋 悦三 (1985):千葉県中 部の地下構造 (2) — 簡単な走時計算法とその適 用 — . 地震学会講演予稿集, 2, 150p.

(原稿受理:2001年11月1日)

要旨

ボーリングデータ、物理探査データを用いて、関東平野の先新第三系基盤までの地下地質構造の解析を行った、得られた主な結果は以下の通りである。(1) 先新第三系基盤の深度は利根川中流域、神奈川東部、房総半島中部で深く、房総では4,000m以上、利根川中流域、神奈川東部で3,500m以上の深度が推定される。鹿島灘沿岸地域でも2,500m以上に達する。(2) 三浦層群相当層の層厚は利根川中流域、神奈川東部、房総で厚く、それぞれ最大3,000m以上に達する。鹿島灘沿岸地域でも2,000m以上になる。茨城県中・西部から千葉県北部地域には本層は分布しない。(3) 上総層群相当層は房総半島北部に中心を持つ堆積盆を形成し、最大層厚は2,000m以上に達し、関東平野全域に分布する。(4) 下総層群相当層は東京湾奥部に中心を持ち、基底深度は400m以上となる。相模川下流域にも100m程度の分布がある。(5) 新第三紀以降の各層準の堆積中心は、年代が新しくなるほど北側へ移動する。(6) 新第三紀以降の関東平野の堆積環境の変化は、汎地球的な海水準変動と日本海の拡大やフィリピン海プレートの運動に伴う構造運動によってもたらされたものと推定される。(7) 関東平野下の先新第三系基盤の帯状配列構造の解明を行った。

キーワード: 関東平野, 基盤構造, 地下地質構造, ボーリングデータ, 物理探査データ